Seguimiento y Predicción Climática

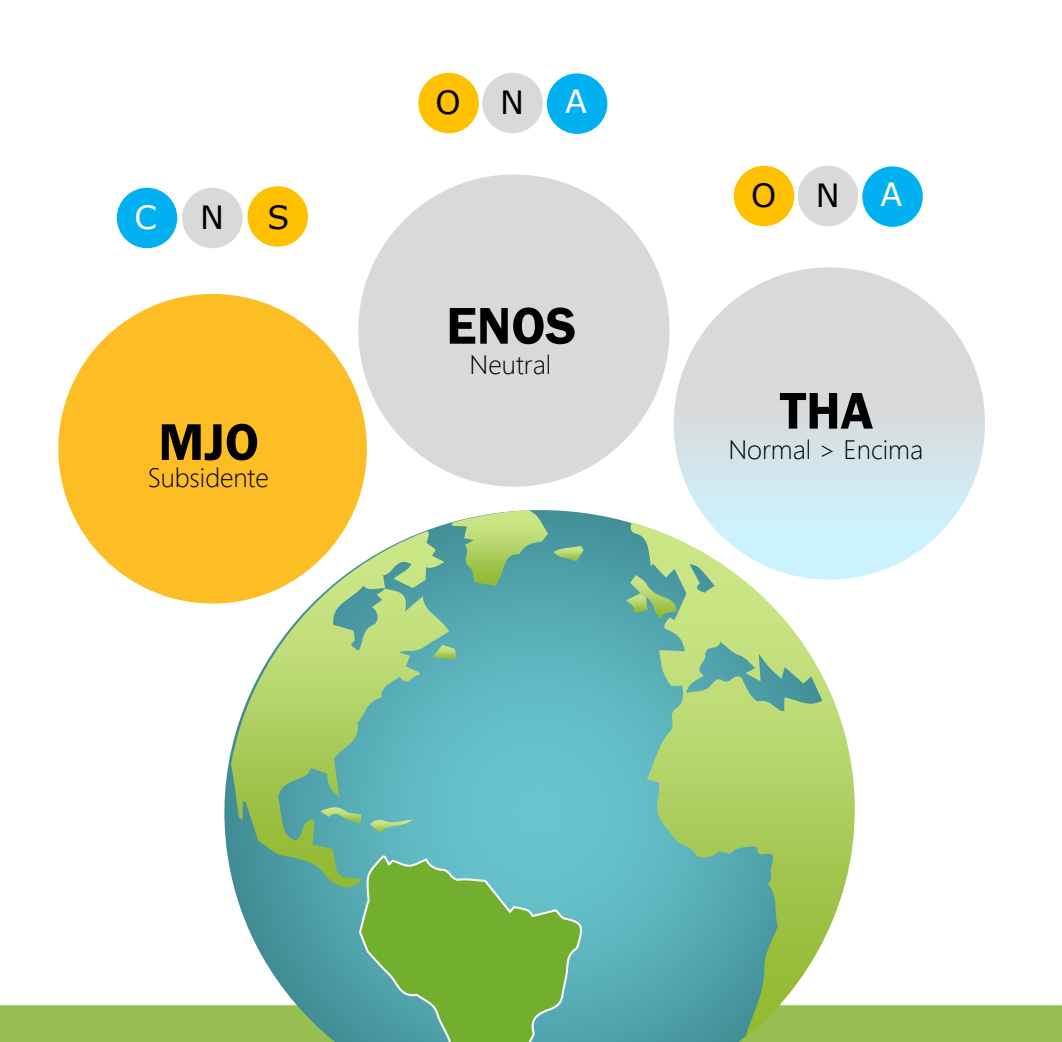
CNO 799



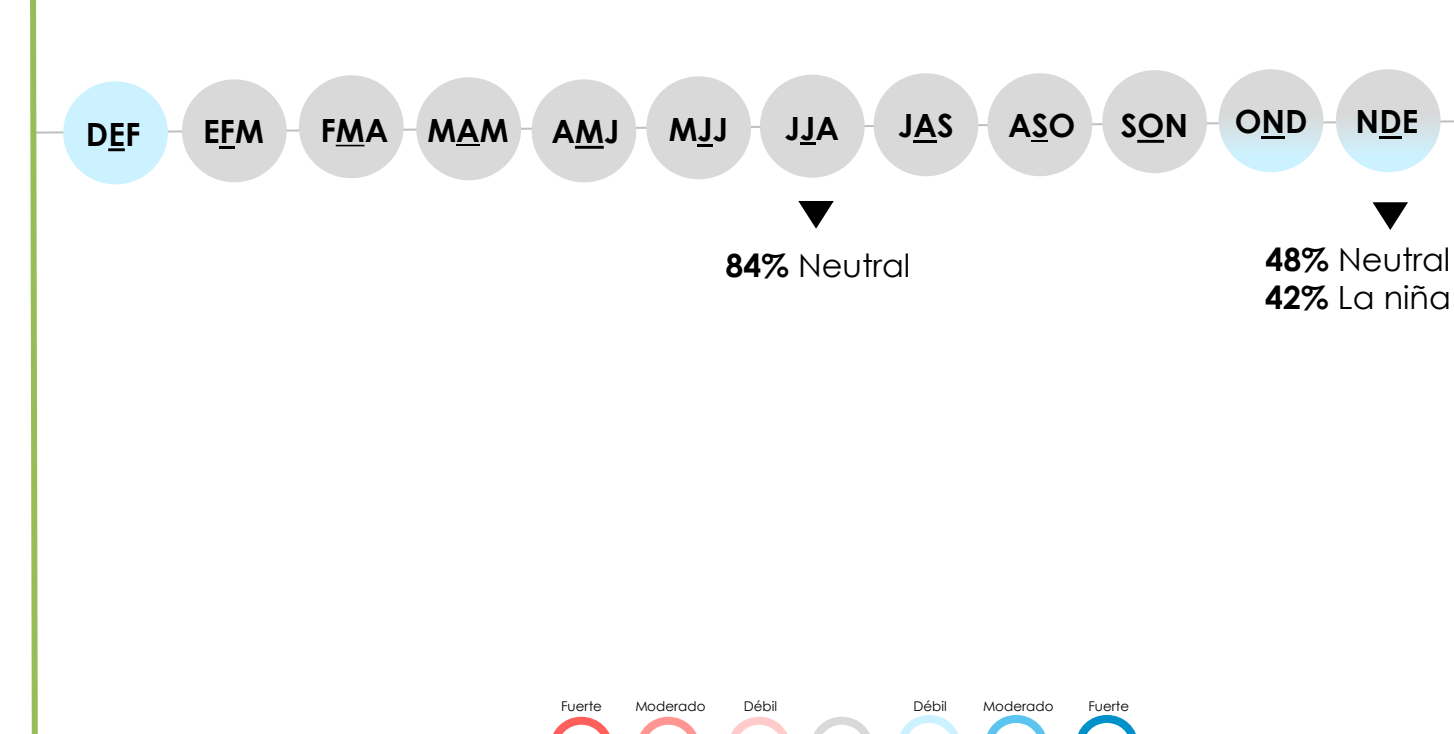




Variaciones Clima Nacional



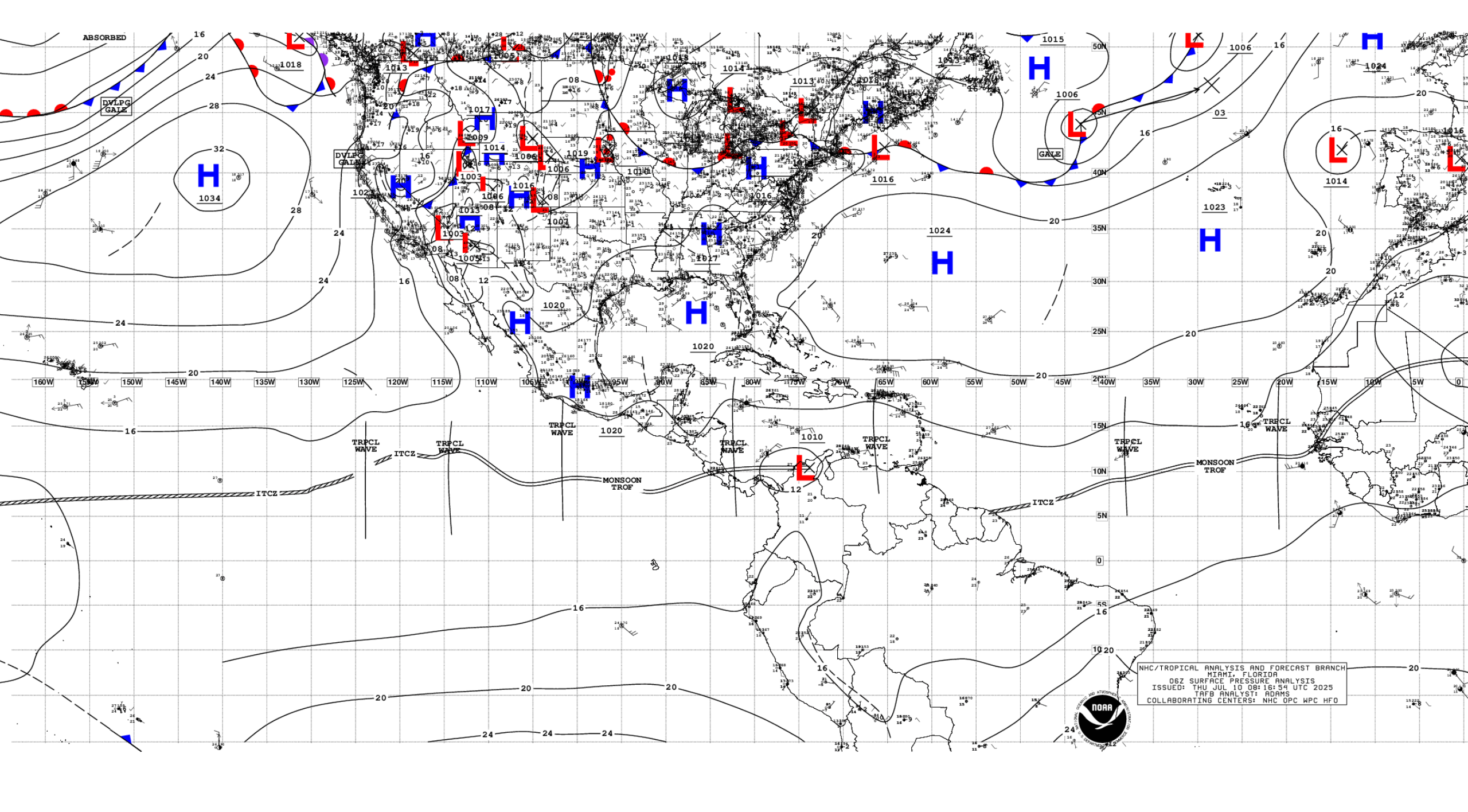
Proyección ENOS



Niño

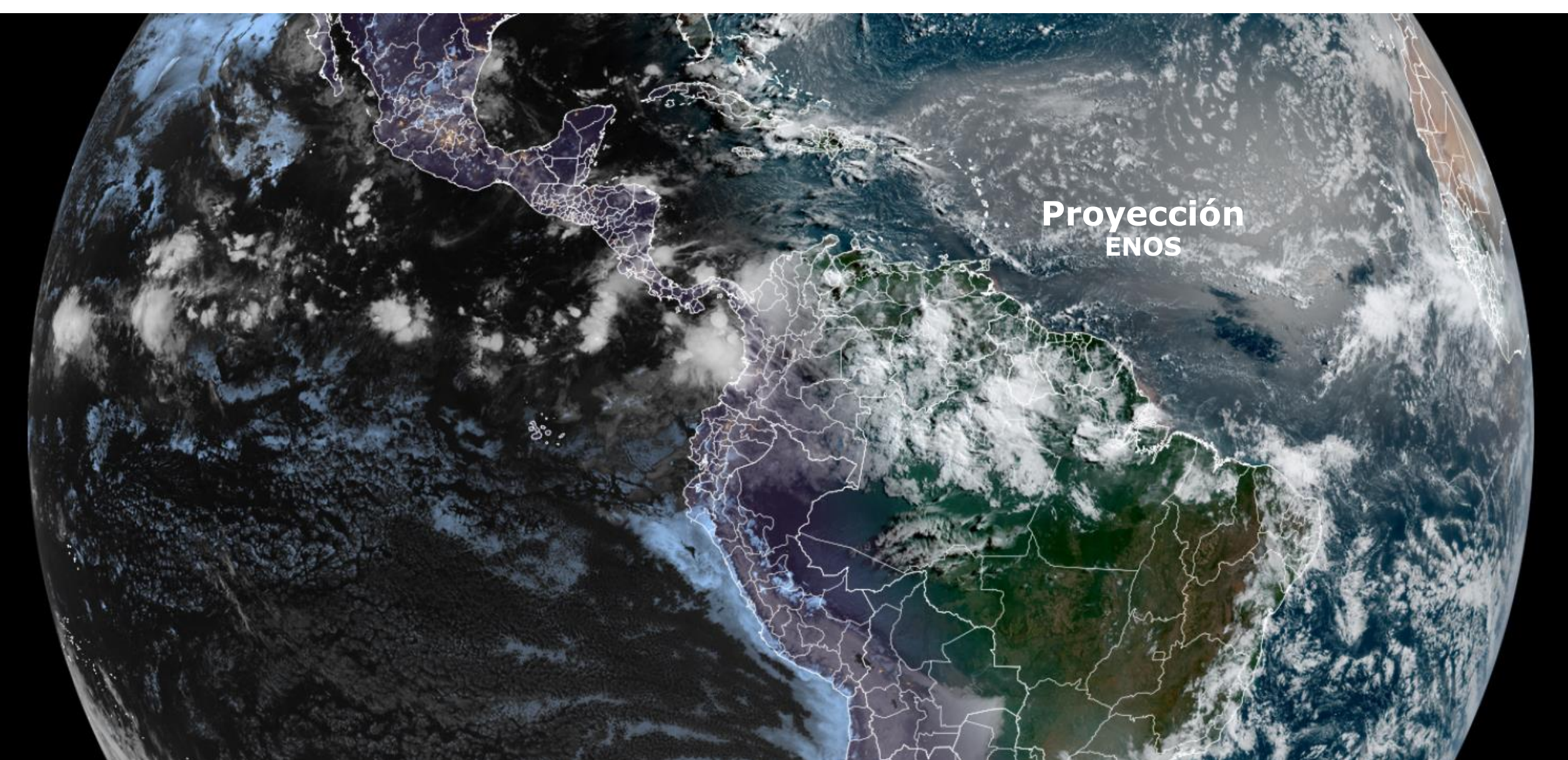
Niño

Niña

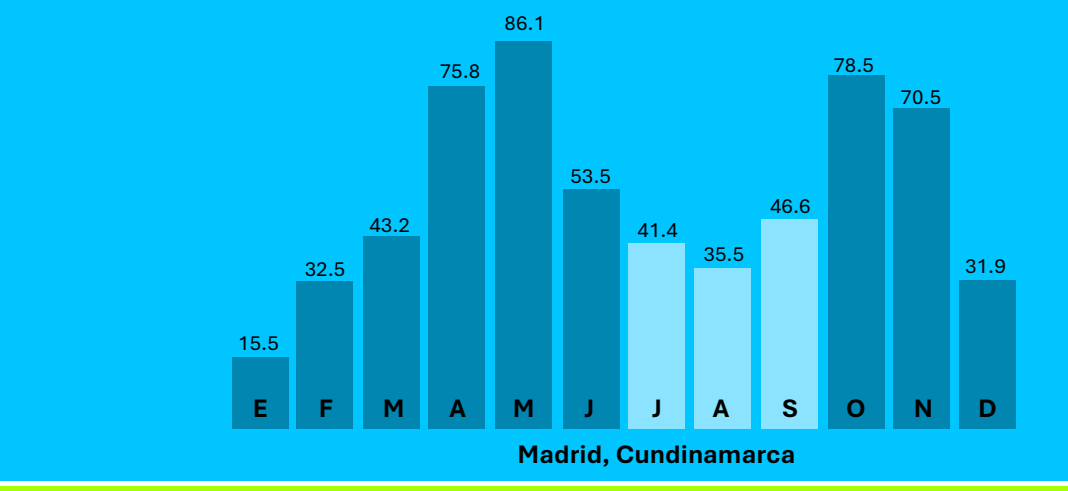
















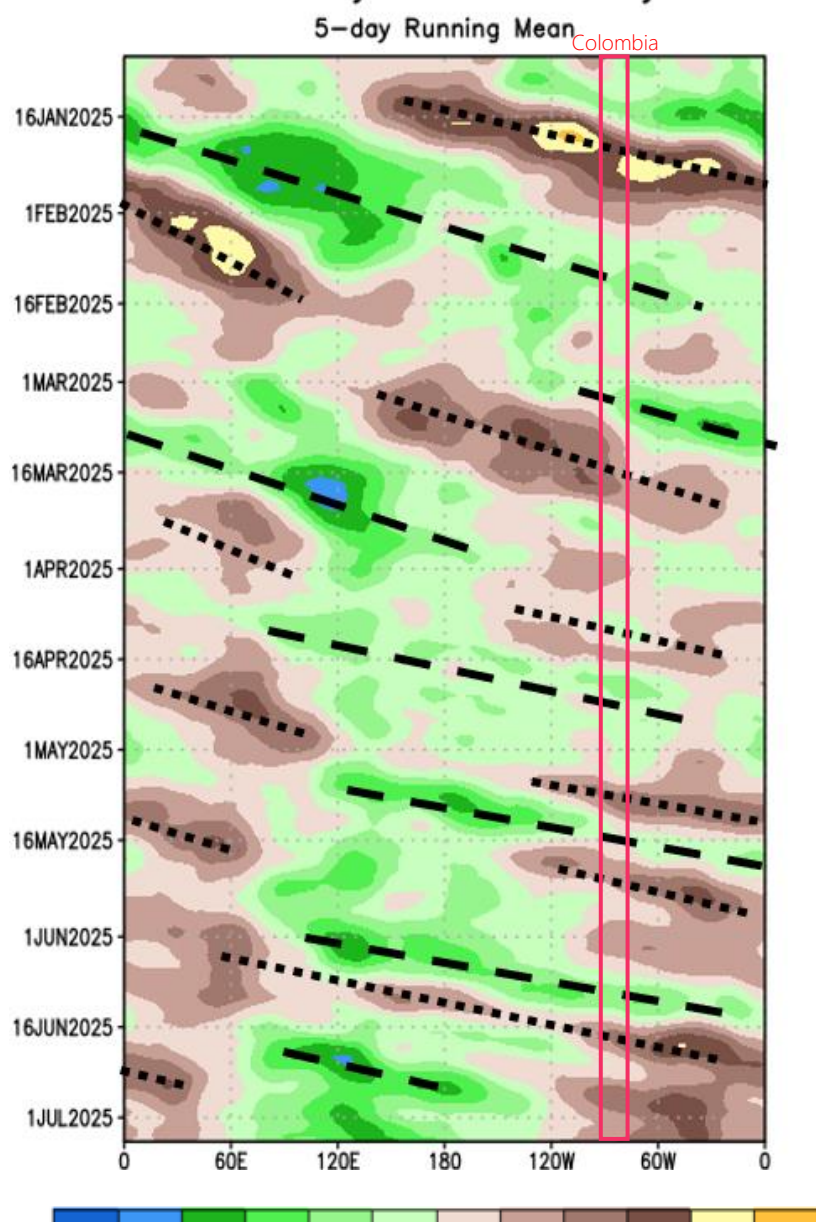


1. SISTEMA CLIMÁTICO MJO | ENOS | THA

MJO Intraestacional

JulioTránsito de la fase subsidente.

200-hPa Velocity Potential Anomaly: 5N-5S





Favorece Convección

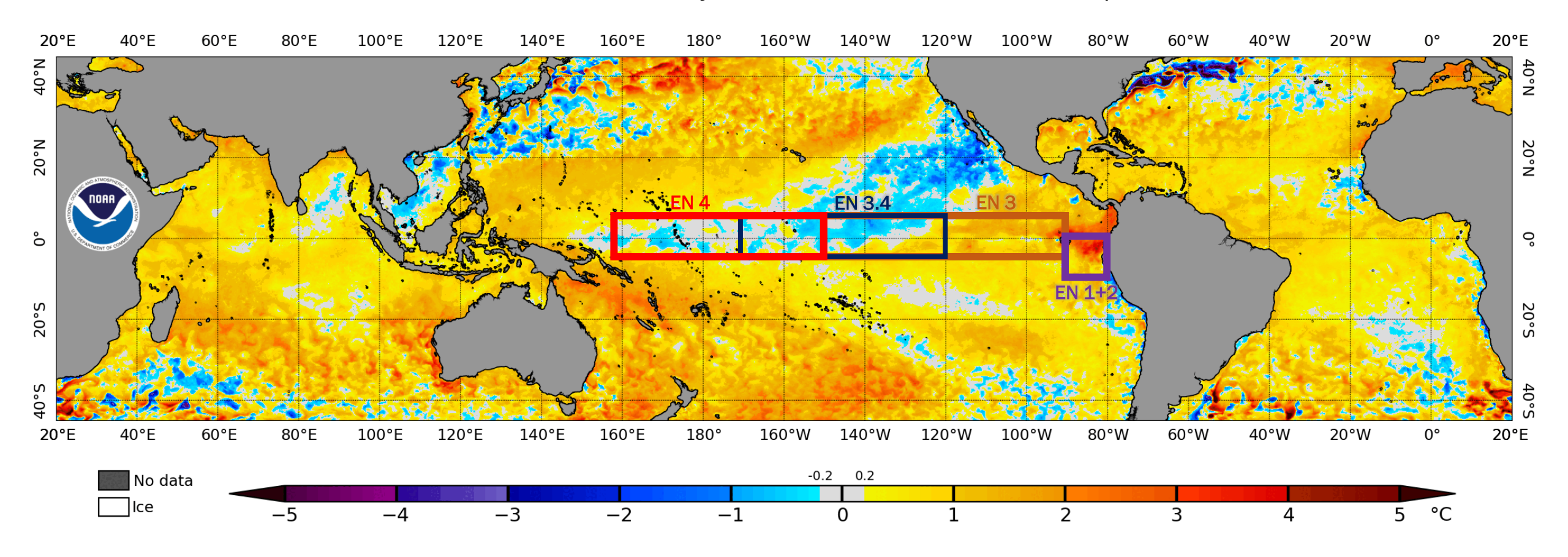


Inhibe Convección

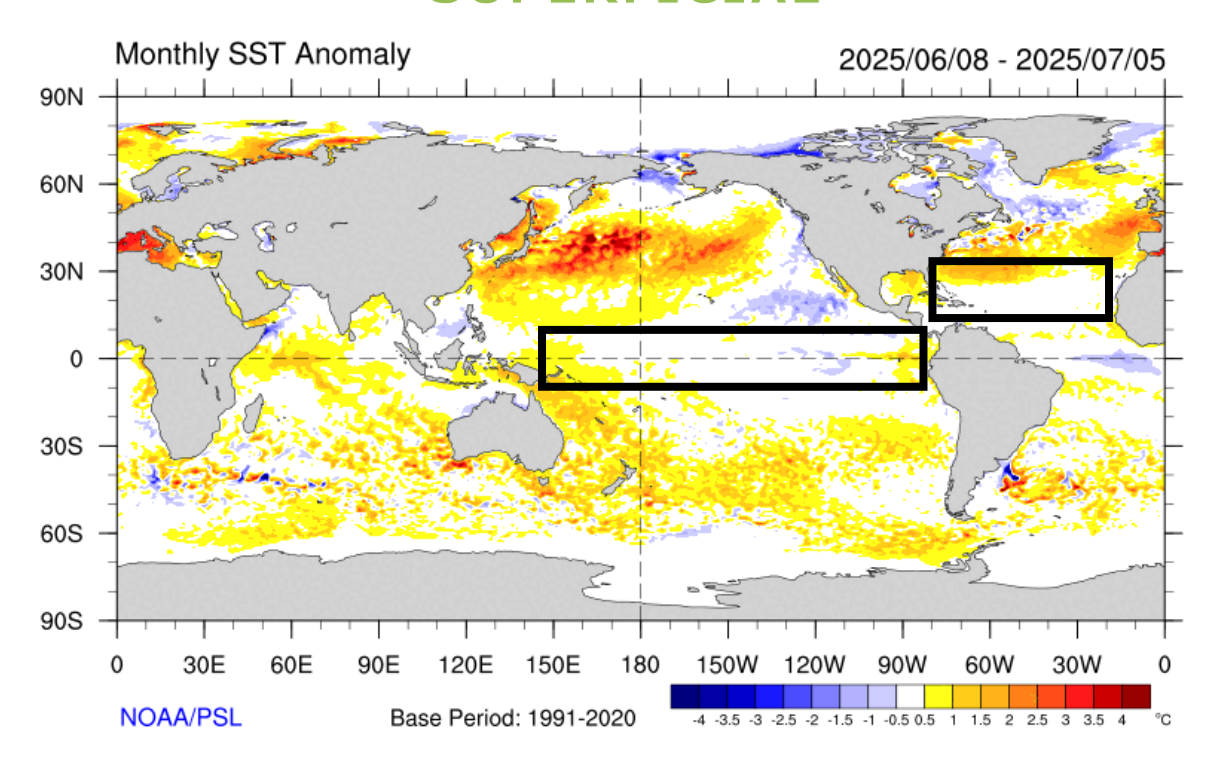




NOAA Coral Reef Watch Daily 5km SST Anomalies (v3.1) 10 Apr 2025

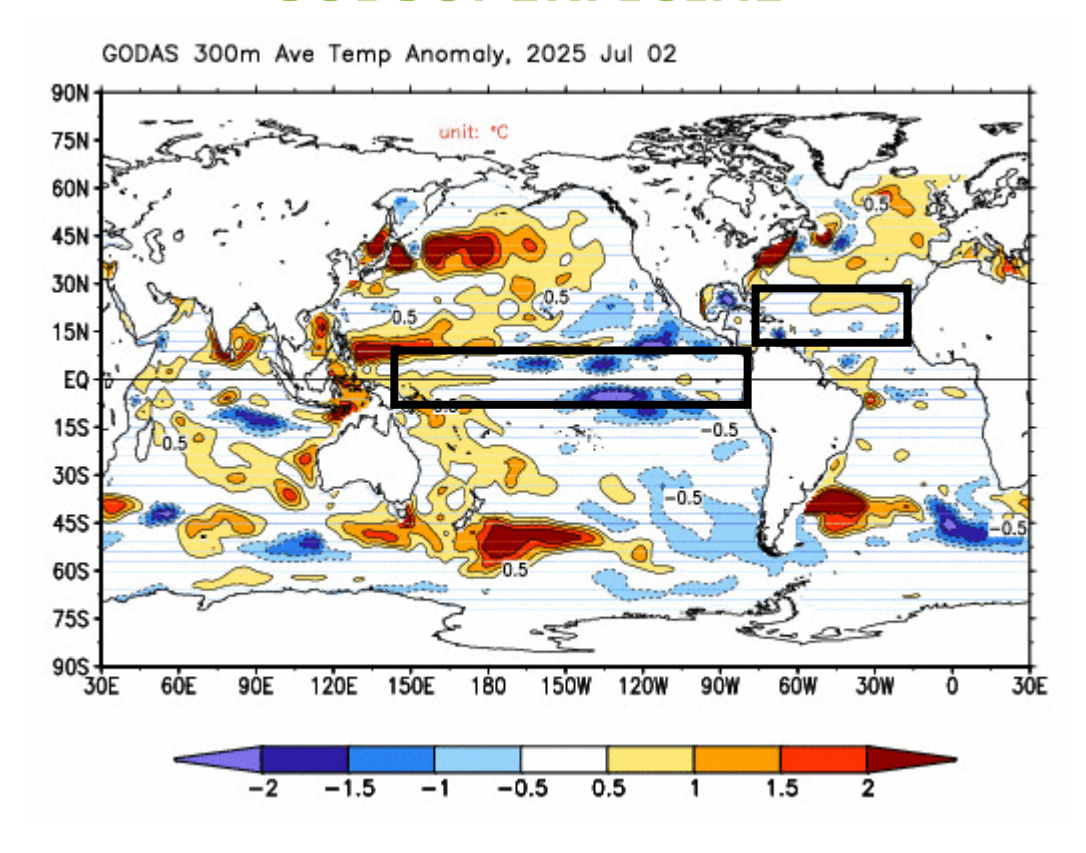


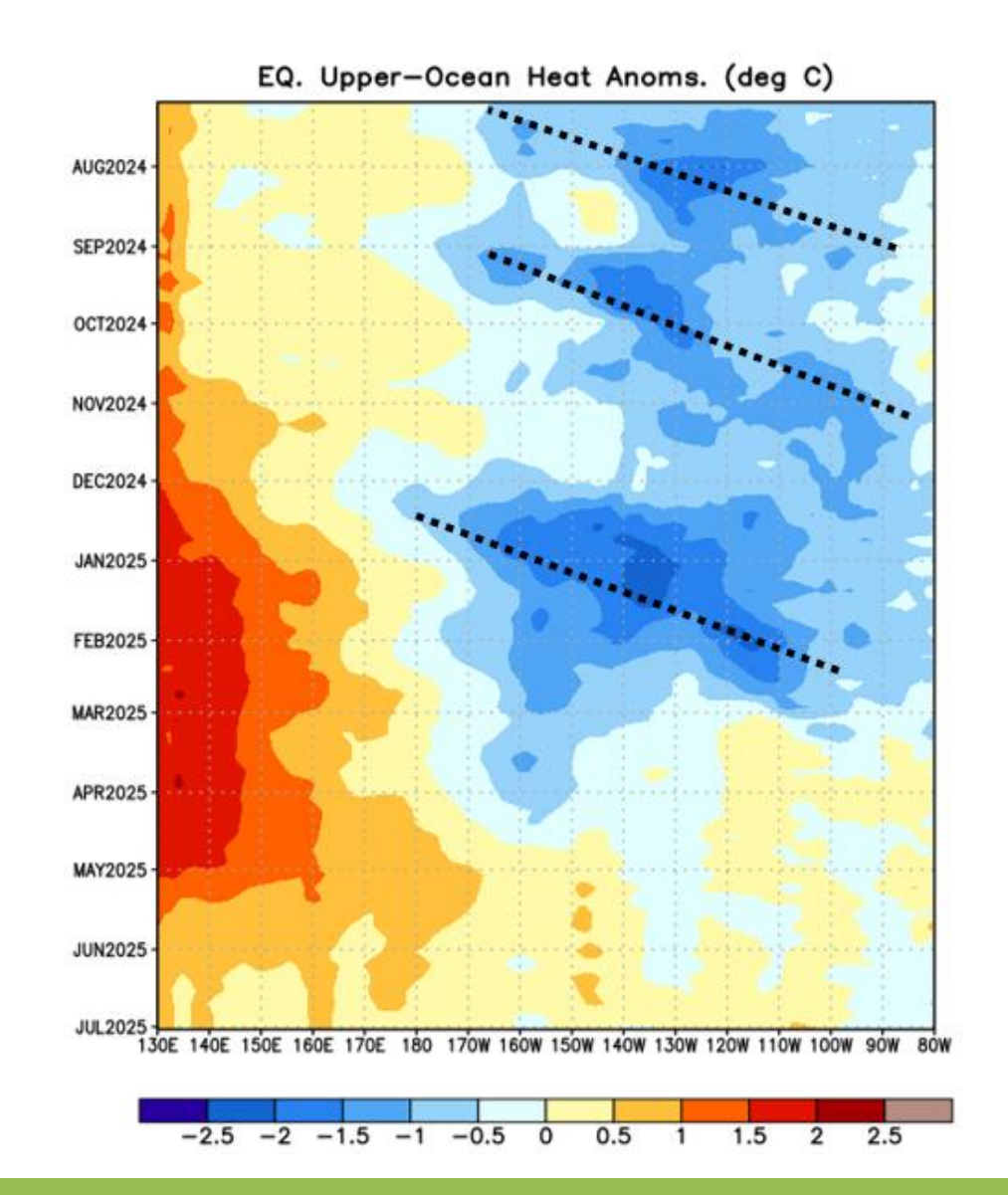
CAMPO TÉRMICO SUPERFICIAL

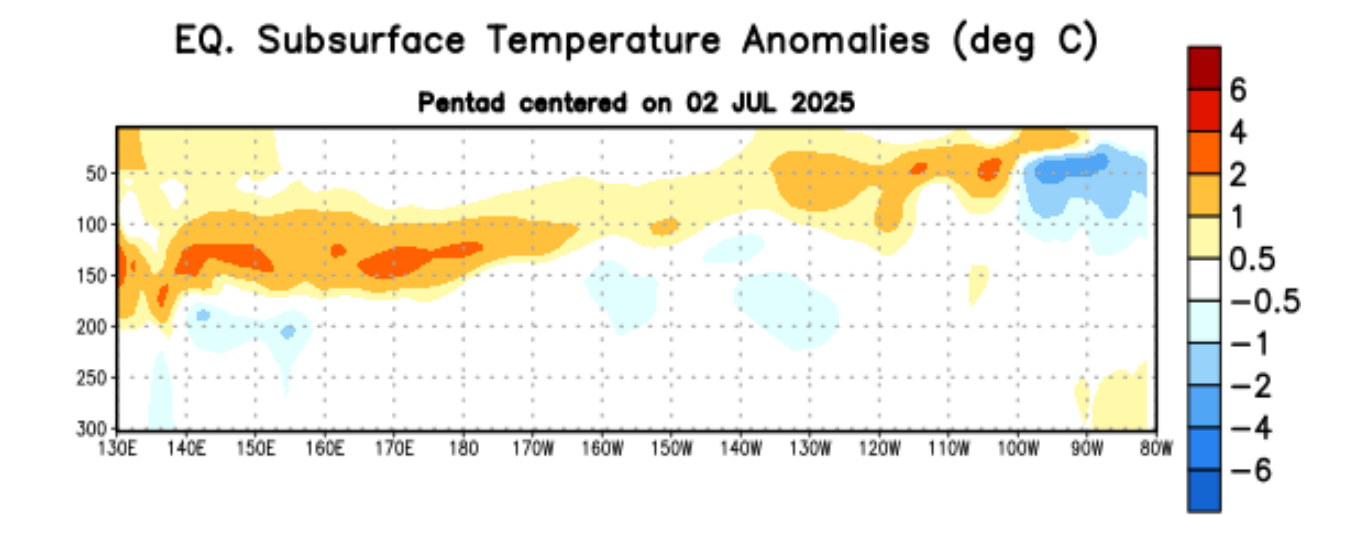


| Región | Semana anterior | Semana actual |
|----------|-----------------|---------------|
| Niño 3.4 | 0.1 °C | 0.0 °C |

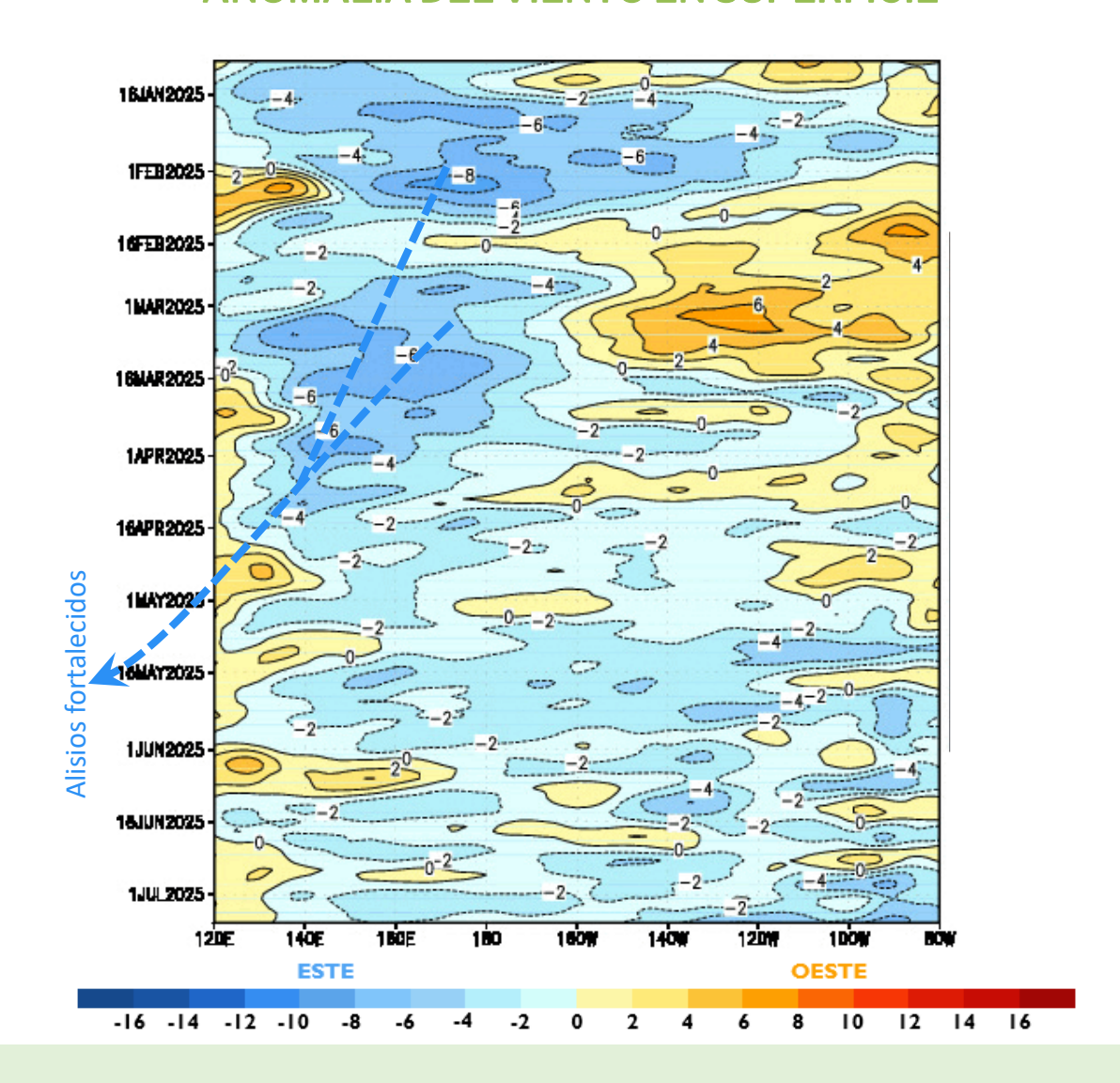
CAMPO TÉRMICO SUBSUPERFICIAL



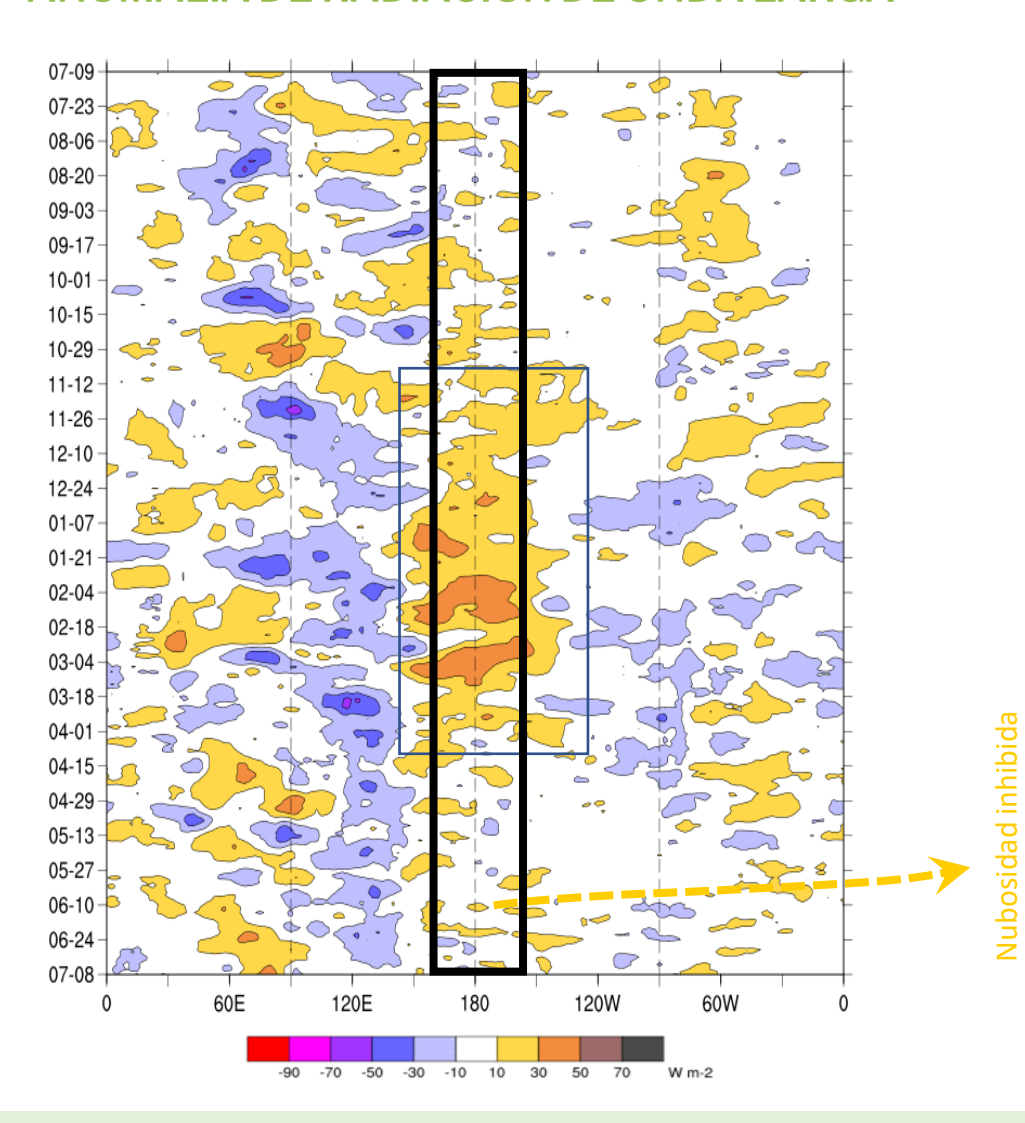




ANOMALÍA DEL VIENTO EN SUPERFICIE



ANOMALÍA DE RADIACIÓN DE ONDA LARGA



INDICADORES DEL CICLO ENOS

MEIv2

Índice Multivariado del Ciclo El Niño - Oscilación del Sur.

Basado en:

1. Presión del Nivel del Mar.
2. Temperatura Superficial del Mar.
3. Componente Zonal de Viento (este-oeste).
4. Componente Meridional del Viento (norte-sur). 5. Radiación de Onda Larga.

> Condición más reciente **AM:** Neutral

Interpretación

Valores ≥ 0.5 El Niño

Valores >-0.5 < 0.5 Neutral

Valores ≤ -0.5 La Niña

ONI - ERSST.v5

Indicador El Niño.

Basado en: I. Temperatura Superficial del Mar.

Condición más reciente **AMJ: Neutral**

Tabla https://www.esrl.noaa.gov/psd/enso/mei/ No. I

0.9 1.3 1.3 0.5 -0.1 -1.3 -2.4 -2.4 -2.3 -2.2 -2 -1.9 -1.8 -1.6 -1.7 -1.7 -1.3 -1.1 -1.2 -1 -0.7 -0.8 -1.1 -1.2 -0.2 -1.1 -0.7 -0.6 -0.4 -0.3 -0.3 0.3 0 -0.3 0 0 -0.1 -0.1 -0.1 -0.3 -0.7 -1.1 -0.8 -0.4 -0.3 -0.1 -0.2 -0.3 0 -0.2 -0.2 0 0.2 0.4 -0.5 -0.4 0.4 -0.1 0.1 0.4 0.2 0.1 0.2 0.3 1 1.9 1.8 2 2.2 2.2 1.9 1.9 1.9 1.8 1.3 1.3 1.2 0.4 -0.5 -0.3 -0.3-0.5 -0.5 -0.4 -0.4 -0.4 -0.6 -0.2 0.2 -0.2 -0.6 -0.7 -0.7 -0.6 -0.6 -0.7 0.2 **-0.8** -0.7 -0.8 -1.3 -0.9 -0.5 0 0.5 0.6 0.5 0.3 0.3 0.5 0.4 0.1 0.5 8.0 0.2 0.4 0.3 0.3 0.2 0.3 0.3 0.3 0.1 -0.1 -0.2 -0.7 -0.9 -1.0 -1.1 -1.2 -1.1 -1.1 -1.2 -1.0 -0.8 -0.9 -1.1 -1 -1.5 -1.3 -1.4 -1.5 -1.4 -1.2 -1 -1 -1.3 -1.6 -1.7 -1.9 -2.2 -1.7 -1.7 -1.7 -1.5 -1.3 -1.1 -0.7 0.4 0.5 0.5 0.7 0.5 0.9 1.1 -0.9 -0.4 -0.1 0.7 0.7 8.0 0.3 0.1 -0.2 -0.7 -0.7 -0.6 -0.5 -0.7 -0.9 -1 **8.0-**-0.4-0.4 -0.7

MEIv2

Tabla No. 2

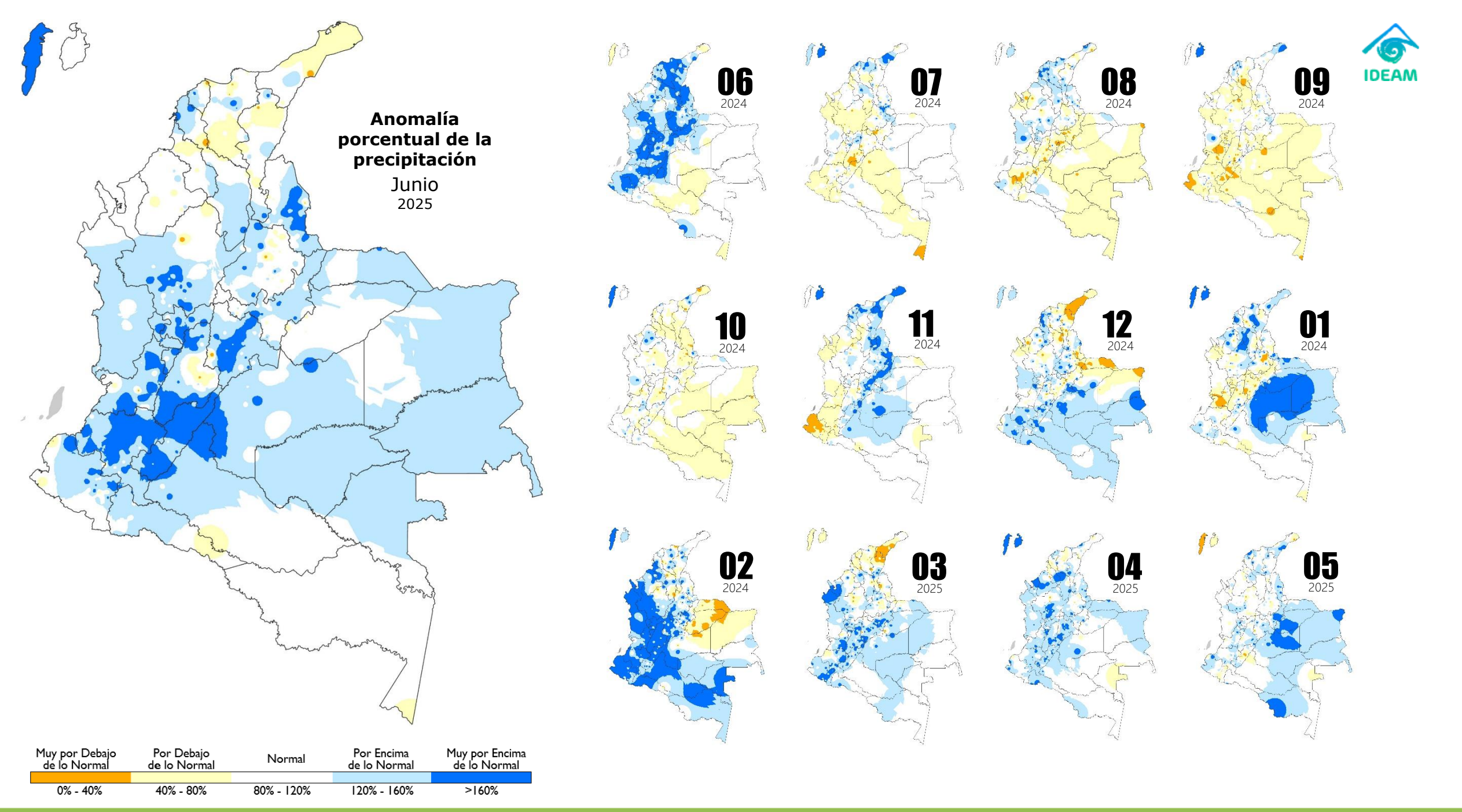
ONI - ERSST.v5 https://origin.cpc.ncep.noaa.gov/products/analysis monitoring/ensostuff/ONI v5.php

| | DEF | EFM | FMA | MAM | AMJ | MJJ | JJA | JAS | ASO | SON | OND | NDE |
|------|------|------|------|------|------|------|------|------|------|------|------|------|
| 2010 | 1.5 | 1.3 | 0.9 | 0.4 | -0.1 | -0.6 | -1.0 | -1.4 | -1.6 | -1.7 | -1.7 | -1.6 |
| 2011 | -1.4 | -1.1 | -0.8 | -0.6 | -0.5 | -0.4 | -0.5 | -0.7 | -0.9 | -1.1 | -1.1 | -1.0 |
| 2012 | -0.8 | -0.6 | -0.5 | -0.4 | -0.2 | 0.1 | 0.3 | 0.3 | 0.3 | 0.2 | 0.0 | -0.2 |
| 2013 | -0.4 | -0.3 | -0.2 | -0.2 | -0.3 | -0.3 | -0.4 | -0.4 | -0.3 | -0.2 | -0.2 | -0.3 |
| 2014 | -0.4 | -0.4 | -0.2 | 0.1 | 0.3 | 0.2 | 0.1 | 0.0 | 0.2 | 0.4 | 0.6 | 0.7 |
| 2015 | 0.6 | 0.6 | 0.6 | 8.0 | 1.0 | 1.2 | 1.5 | 1.8 | 2.1 | 2.4 | 2.5 | 2.6 |
| 2016 | 2.5 | 2.2 | 1.7 | 1.0 | 0.5 | 0.0 | -0.3 | -0.6 | -0.7 | -0.7 | -0.7 | -0.6 |
| 2017 | -0.3 | -0.1 | 0.1 | 0.3 | 0.4 | 0.4 | 0.2 | -0.1 | -0.4 | -0.7 | -0.9 | -1.0 |
| 2018 | -0.9 | -0.8 | -0.6 | -0.4 | -0.1 | 0.1 | 0.1 | 0.2 | 0.4 | 0.7 | 0.9 | 8.0 |
| 2019 | 8.0 | 0.8 | 8.0 | 0.7 | 0.6 | 0.5 | 0.3 | 0.1 | 0.1 | 0.3 | 0.5 | 0.5 |
| 2020 | 0.5 | 0.6 | 0.4 | 0.3 | 0.0 | -0.2 | -0.4 | -0.6 | -1.0 | -1.2 | -1.3 | -1.2 |
| 2021 | -1.1 | -0.9 | -0.8 | -0.7 | -0.5 | -0.4 | -0.4 | -0.5 | -0.7 | -0.8 | -1.0 | -1.0 |
| 2022 | -1.0 | -0.9 | -1.0 | -1.1 | -1.0 | -0.9 | -0.8 | -0.9 | -1.0 | -1.0 | -0.9 | -0.8 |
| 2023 | -0.7 | -0.4 | -0.1 | 0.2 | 0.5 | 8.0 | 1.1 | 1.3 | 1.6 | 1.8 | 1.9 | 2.0 |
| 2024 | 1.8 | 1.5 | 1.1 | 0.7 | 0.4 | 0.2 | 0.0 | -0.1 | -0.2 | -0.3 | -0.4 | -0.5 |
| 2025 | -0.6 | -0.4 | -0.2 | -0.1 | -0.1 | | | | | | | |

www.ideam.gov.co

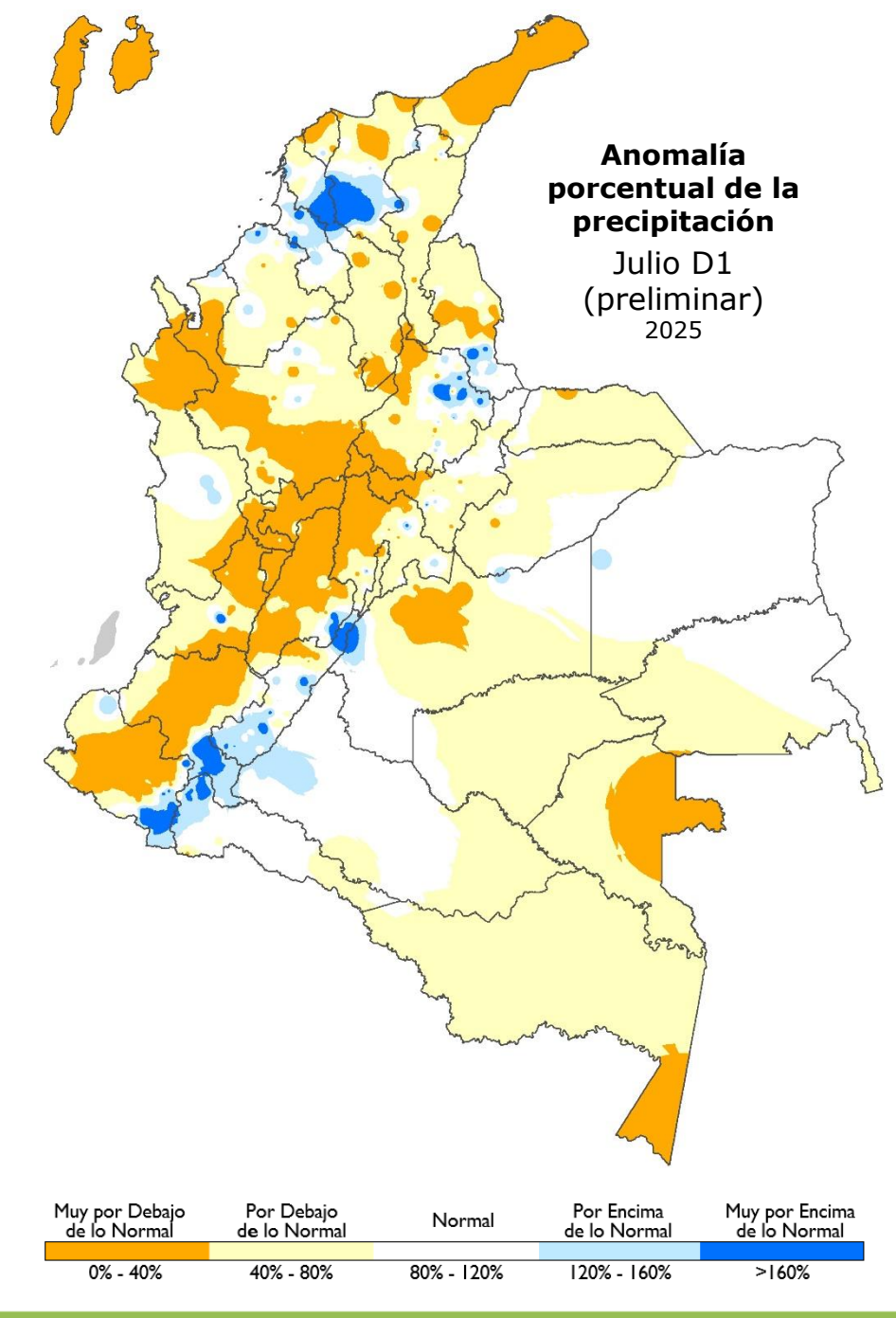


2. SEGUIMIENTO CLIMÁTICO

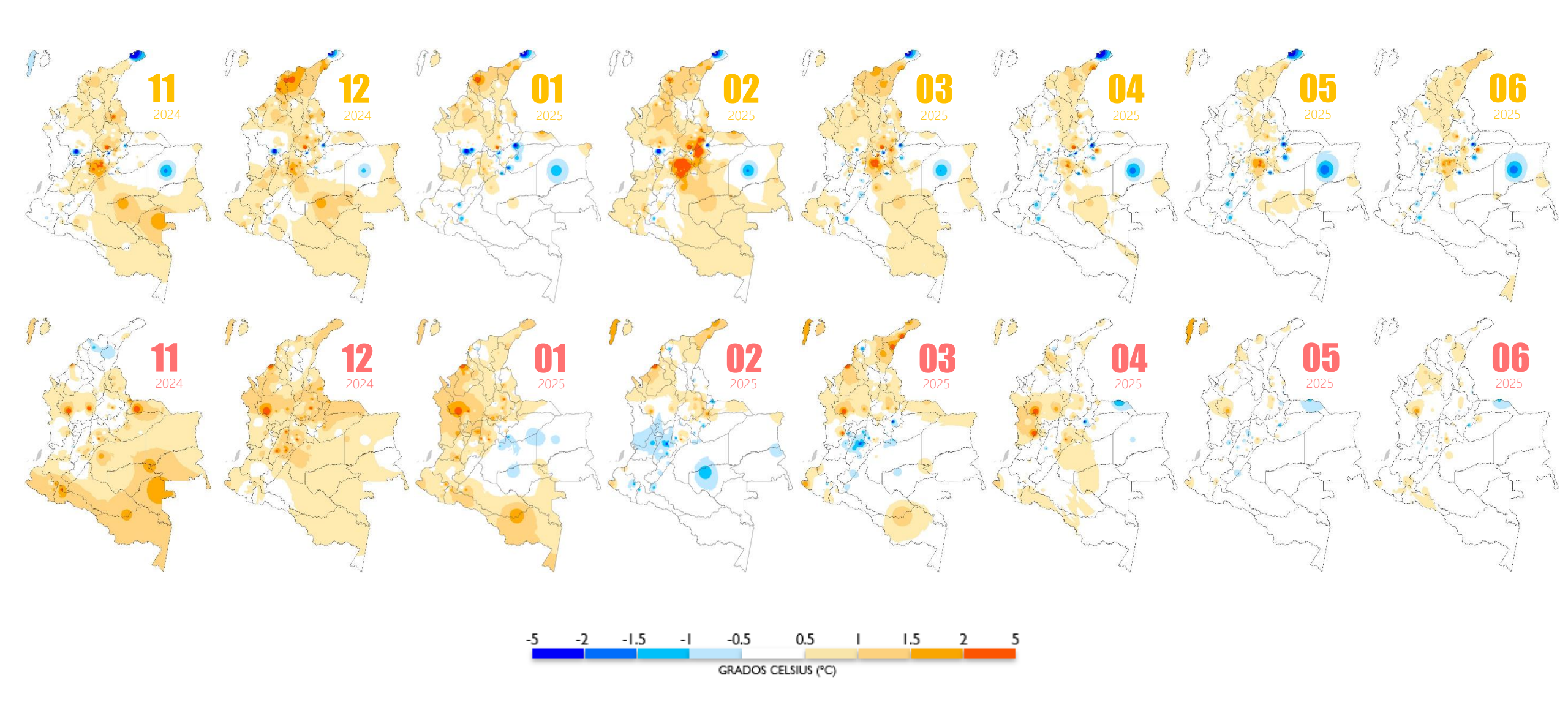








Anomalía de las temperaturas extremas mínimas y máximas

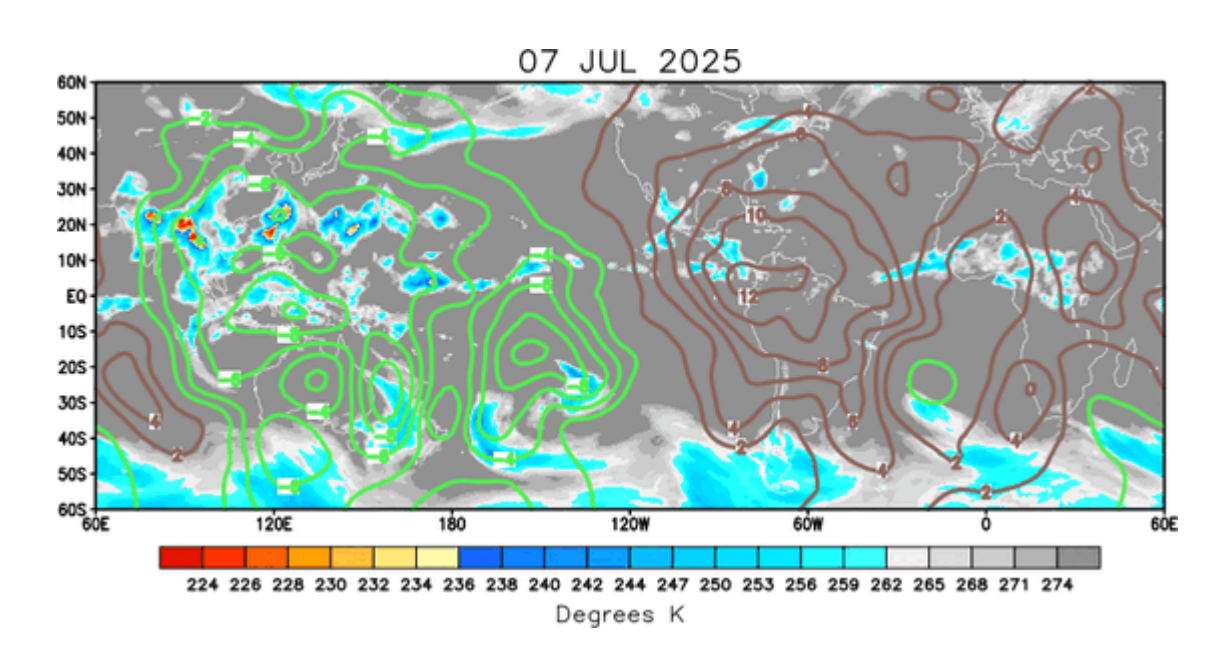




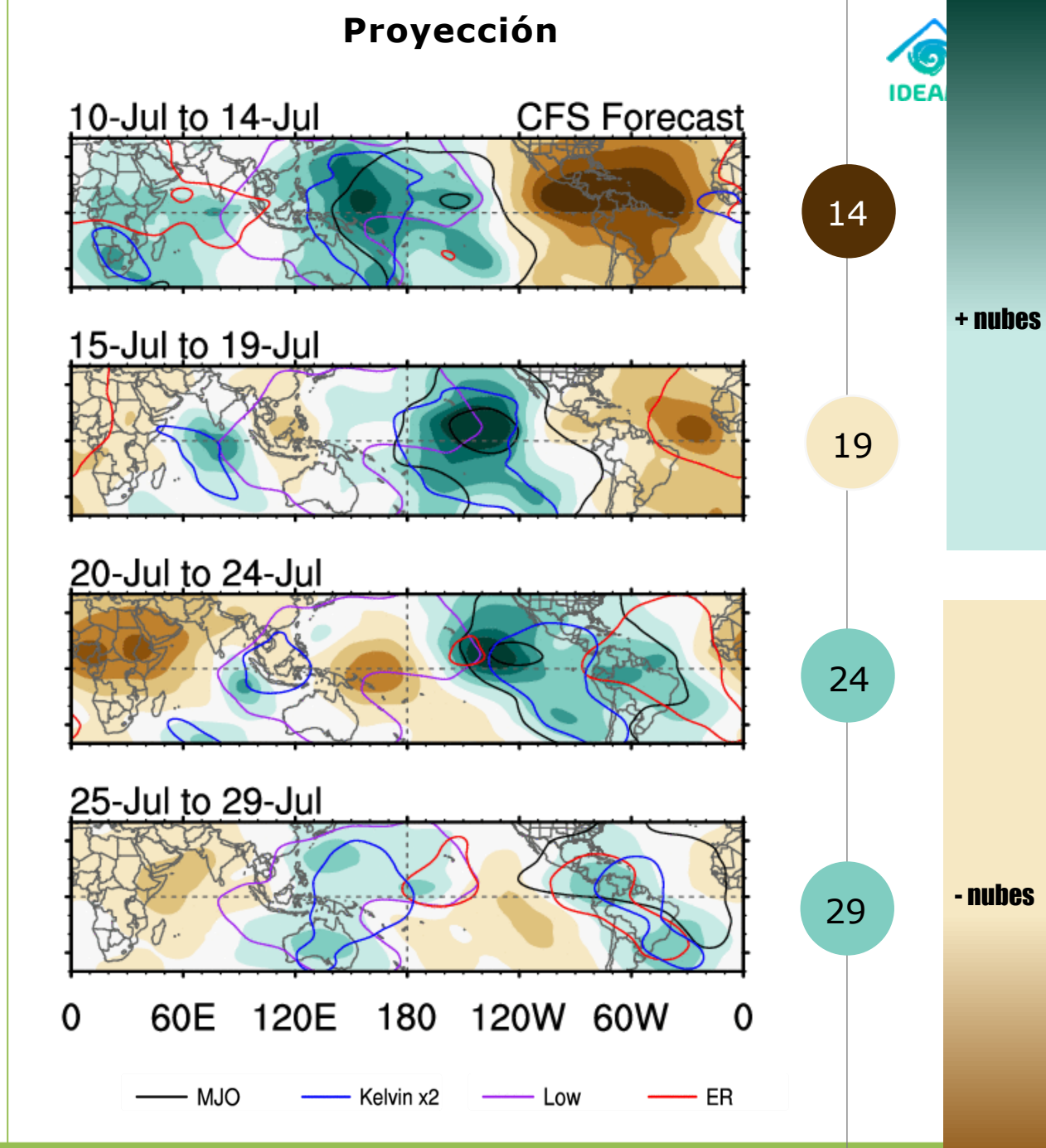
3. PREDICCIÓN CLIMÁTICA JUL | AGO | SEP



MJO+

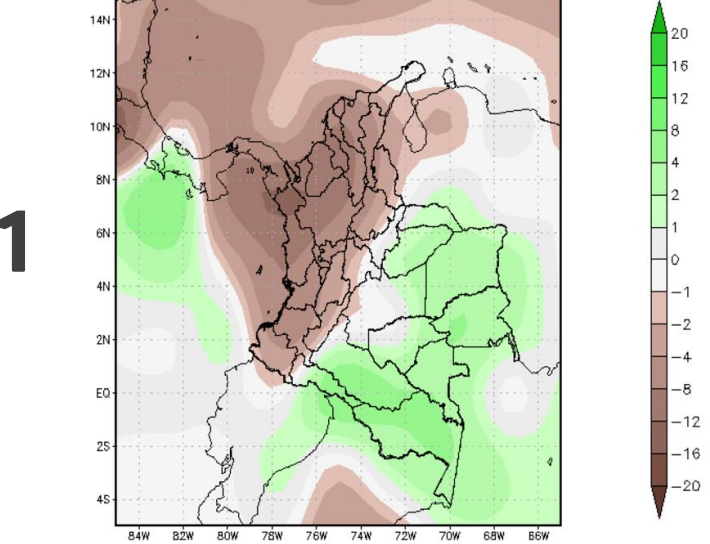


FASE ACTUAL Subsidente

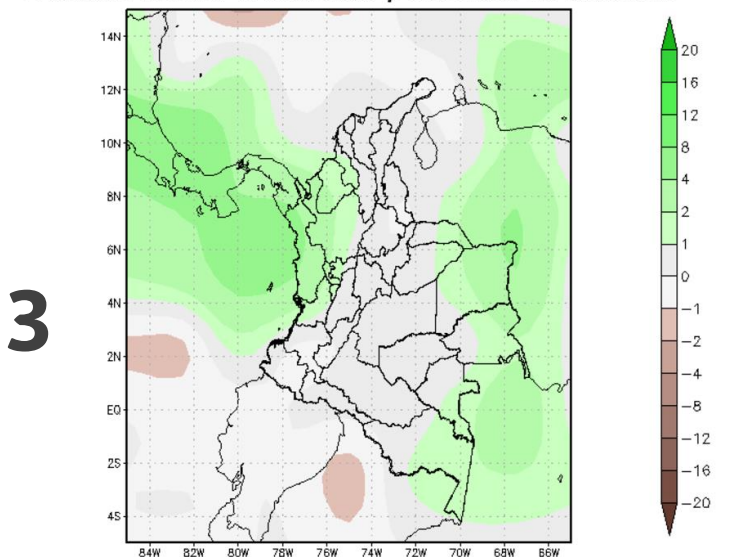


Predicción Determinística

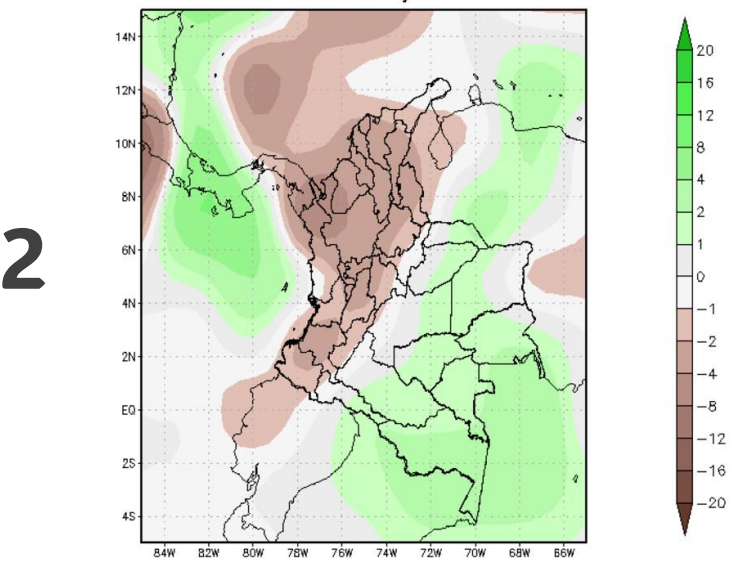




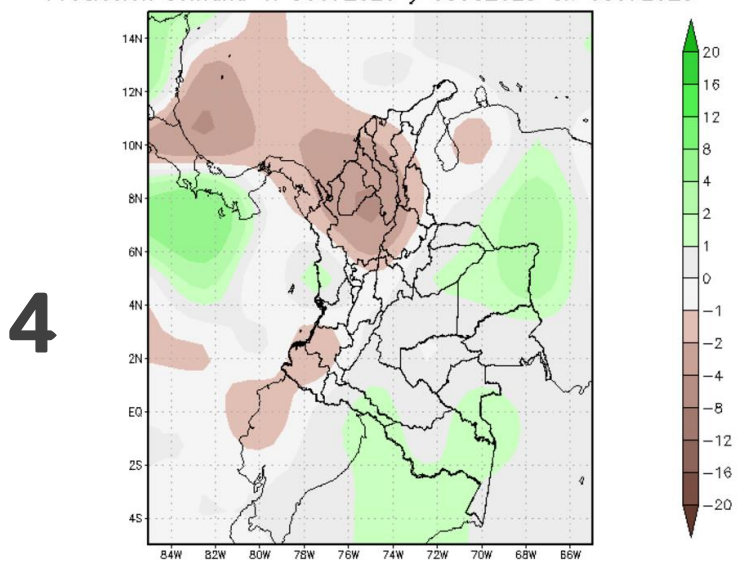
Ideam - Anom (mm/dia) PREC MODELO: CFSv2 Fuente: NOAA Prediccion semana 3: 23072025 y 29072025 CI: 08072025



Ideam - Anom (mm/dia) PREC MODELO: CFSv2 Fuente: NOAA Prediccion semana 2: 16072025 y 22072025 CI: 08072025



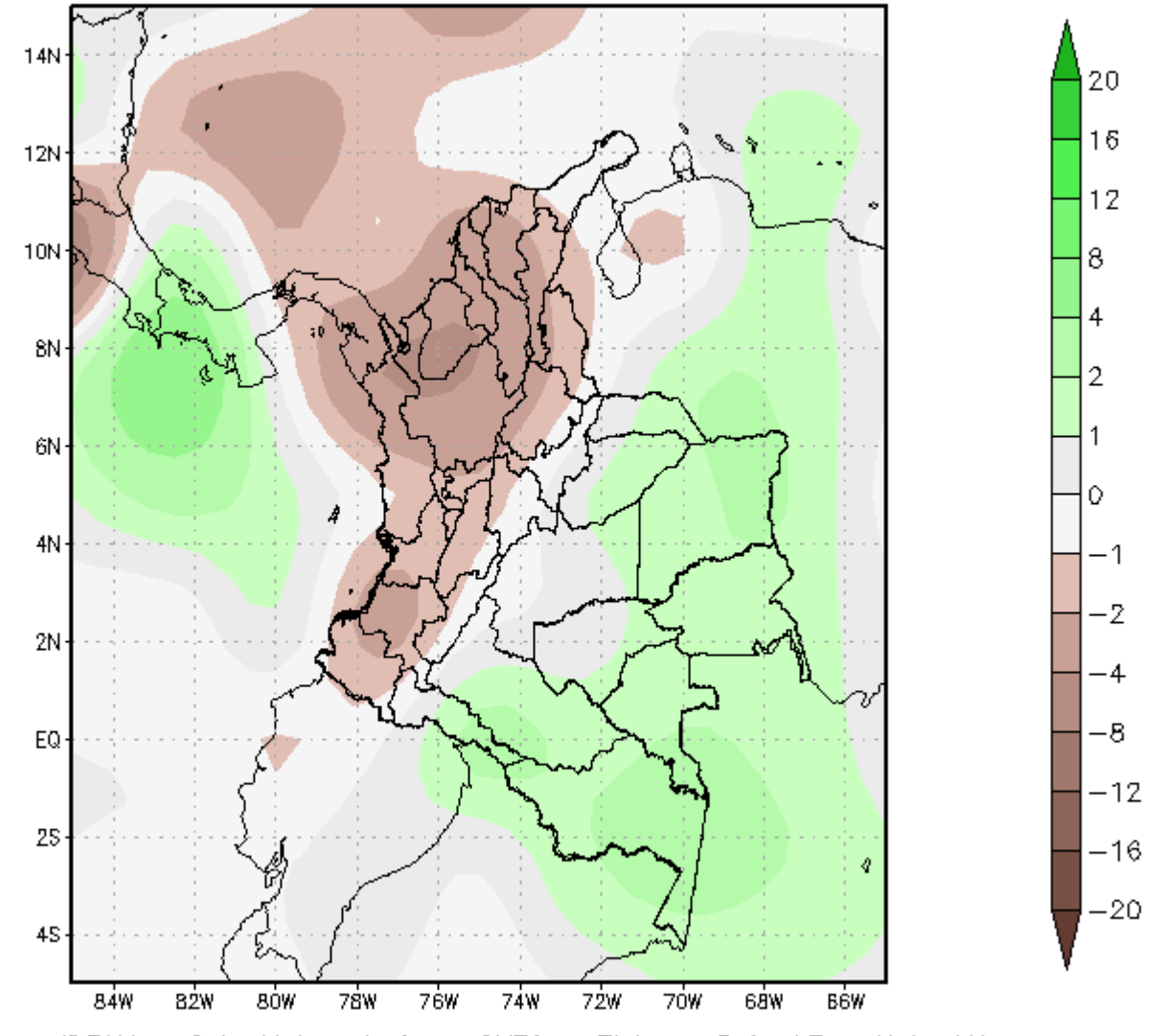
Ideam - Anom (mm/dia) PREC MODELO: CFSv2 Fuente: NOAA Prediccion semana 4: 30072025 y 05082025 CI: 08072025



Predicción Subestacional

determinística

Ideam - Anom (mm/dia) PREC MODELO: CFSv2 Fuente: NOAA Prediccion entre 09072025 y 05082025 CI: 08072025



Temporada de Huracanes

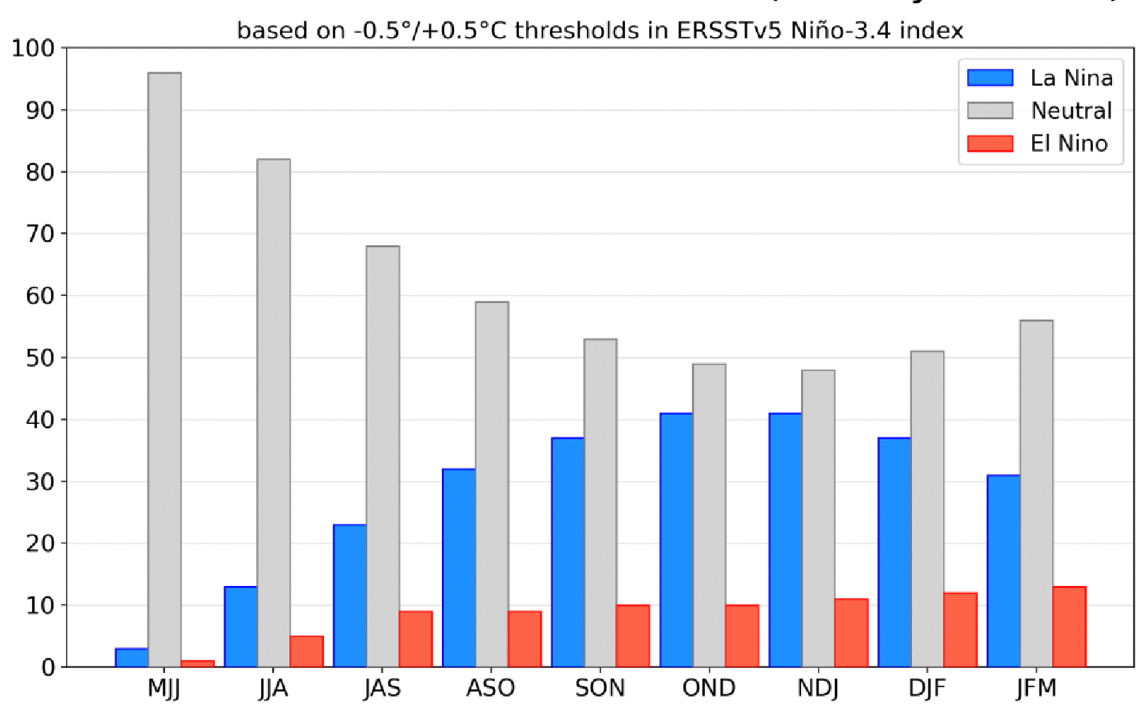
Atlántico 2025

| Source | Date | Named storms | Hurricanes | Major hurricanes | Ref |
|--------|--------------------|-----------------|------------|---------------------|------|
| Ave | erage (1991–2020) | 14.4 | 7.2 | 3.2 | [1] |
| Red | cord high activity | 30 | 15 | 7† | [2] |
| Re | cord low activity | 1 | 0† | 0† | [2] |
| TSR | December 10, 2024 | 15 | 7 | 3 | [3] |
| CSU | April 3, 2025 | 17 | 9 | 4 | [4] |
| TSR | April 7, 2025 | 14 | 7 | 3 | [5] |
| UA | April 9, 2025 | 15 | 7 | 3 | [6] |
| MU | April 14, 2025 | 12–16 | 7–9 | 3-4 | [7] |
| NCSU | April 15, 2025 | 12–15 | 6–8 | 2–3 | [8] |
| TWC | April 17, 2025 | 19 | 9 | 4 | [9] |
| UPenn | April 23, 2025 | 10–18 | N/A | N/A | [10] |
| SMN | May 7, 2025 | 13–17 | 6–8 | 3-4 | [11] |
| UKMO | May 21, 2025 | 16 | 9 | 4 | [12] |
| NOAA | May 22, 2025 | 13–19 | 6–10 | 3–5 | [13] |
| TSR | May 23, 2025 | 16 | 8 | 4 | [14] |
| CSU | June 11, 2025 | 17 | 9 | 4 | [15] |
| UA | June 17, 2025 | 17 | 7 | 3 | [16] |
| TSR | July 8, 2025 | 15 | 7 | 3 | [17] |
| CSU | July 9, 2025 | 16 | 8 | 3 | [18] |
| | Actual activity | 3 | 0 | 0 | |



NOAA

Official NOAA CPC ENSO Probabilities (issued June 2025)



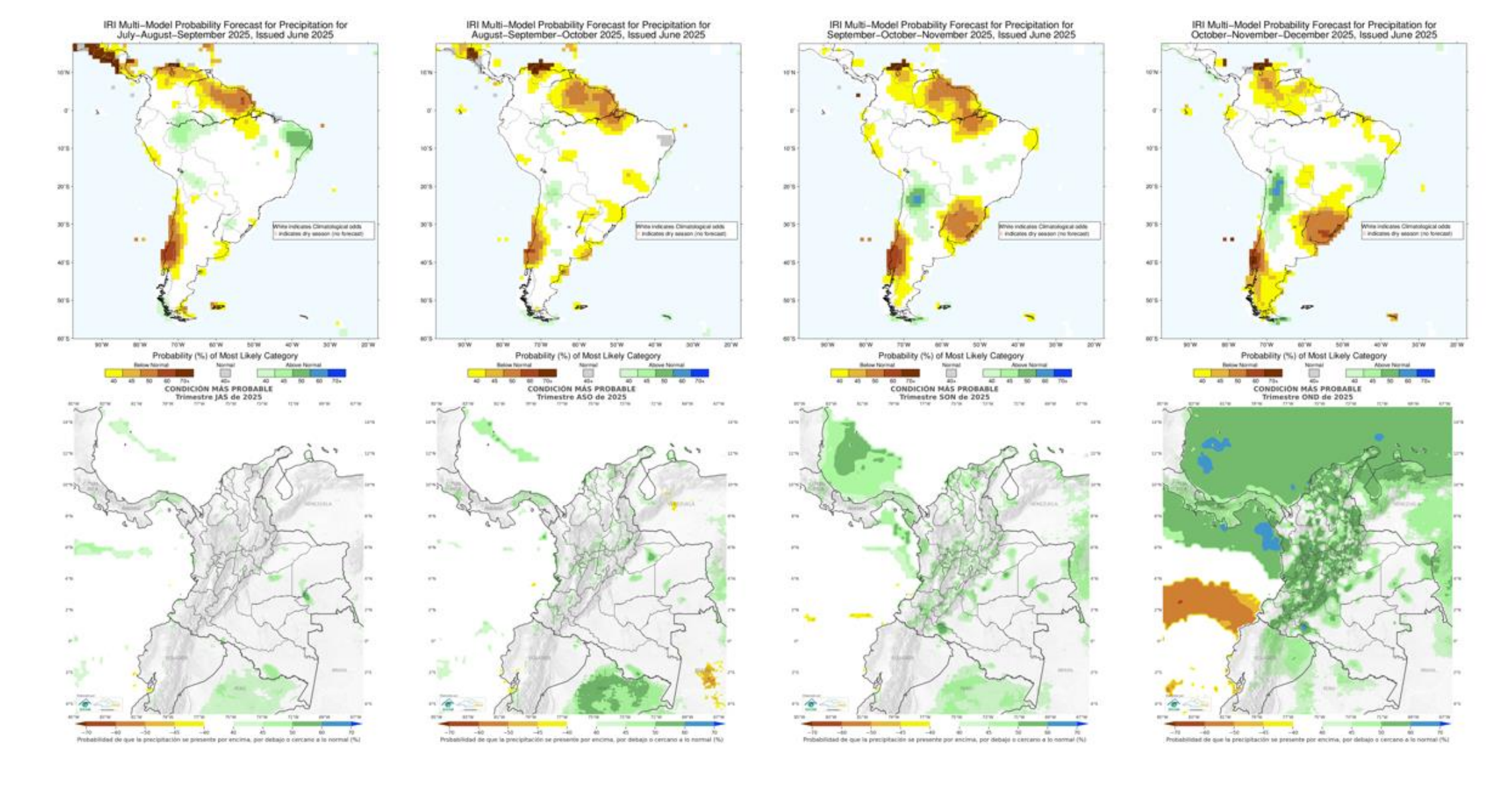
Model Predictions of ENSO from Jun 2025 2.5 DYN MODELS: AUS-ACCESS BCC DIAP CMC CANSIP 1.5 ★ COLA CCSM4 CS-IRI-MM Anomaly (°C) ◆ ECMWF → IOCAS ICM → IOCAS ICM → JMA → KMA → LDEO → MetFRANCE → NASA GMAO ★ NCEP CFSv2 Nino 3.4 SST SINTEX-F UKMO DYN AVG STAT MODELS: BCC_RZDM CPC CA CPC MRKOV ✓ IAP-NN O NTU CODA -2 □ UCLA-TCD ◆ UW PSL-CSLIM ★ UW PSL-LIM -2.5 STAT AVG -3 -3.5

Highcharts.com

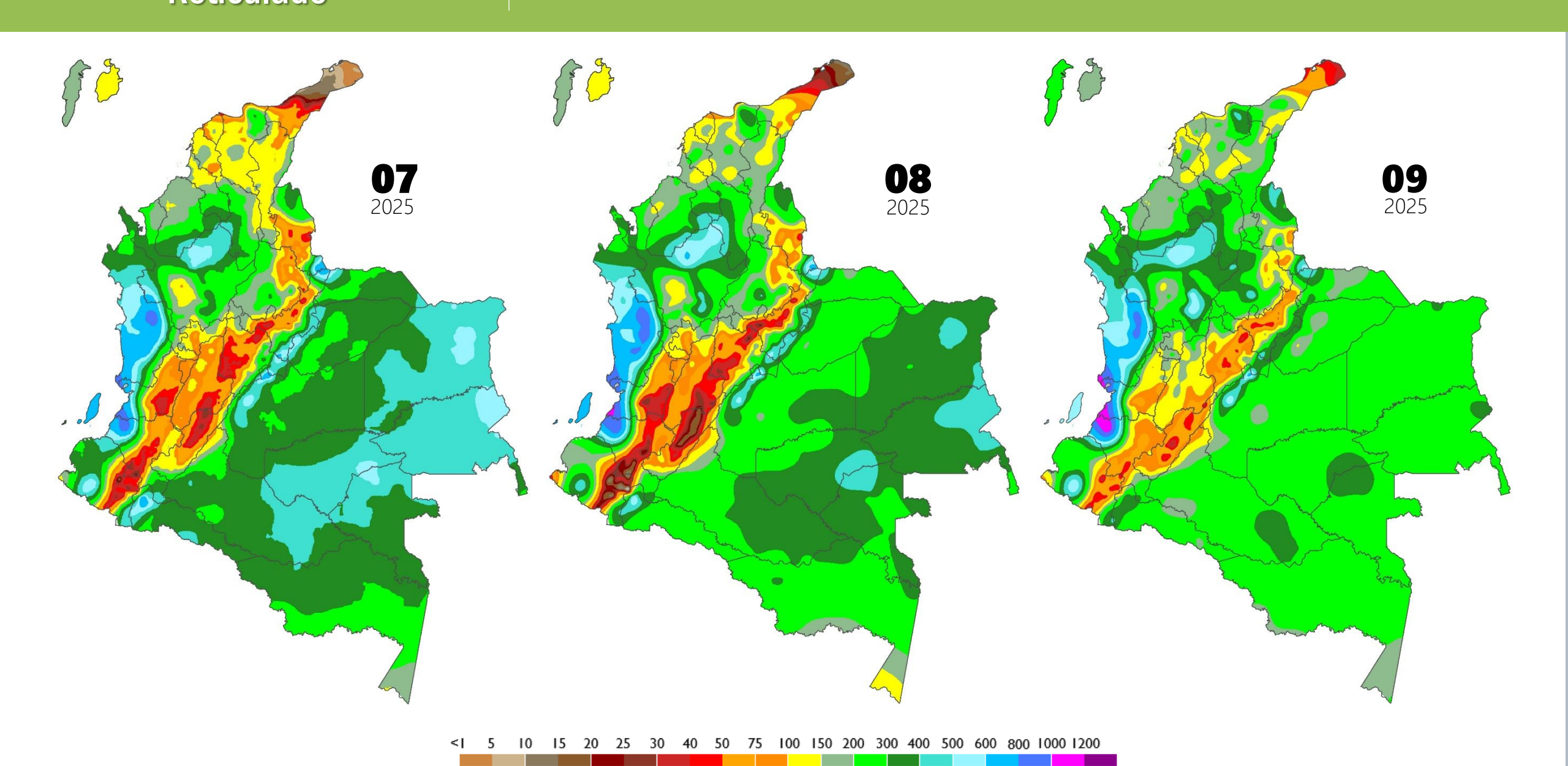


Proyección estacional IRI - IDEAM





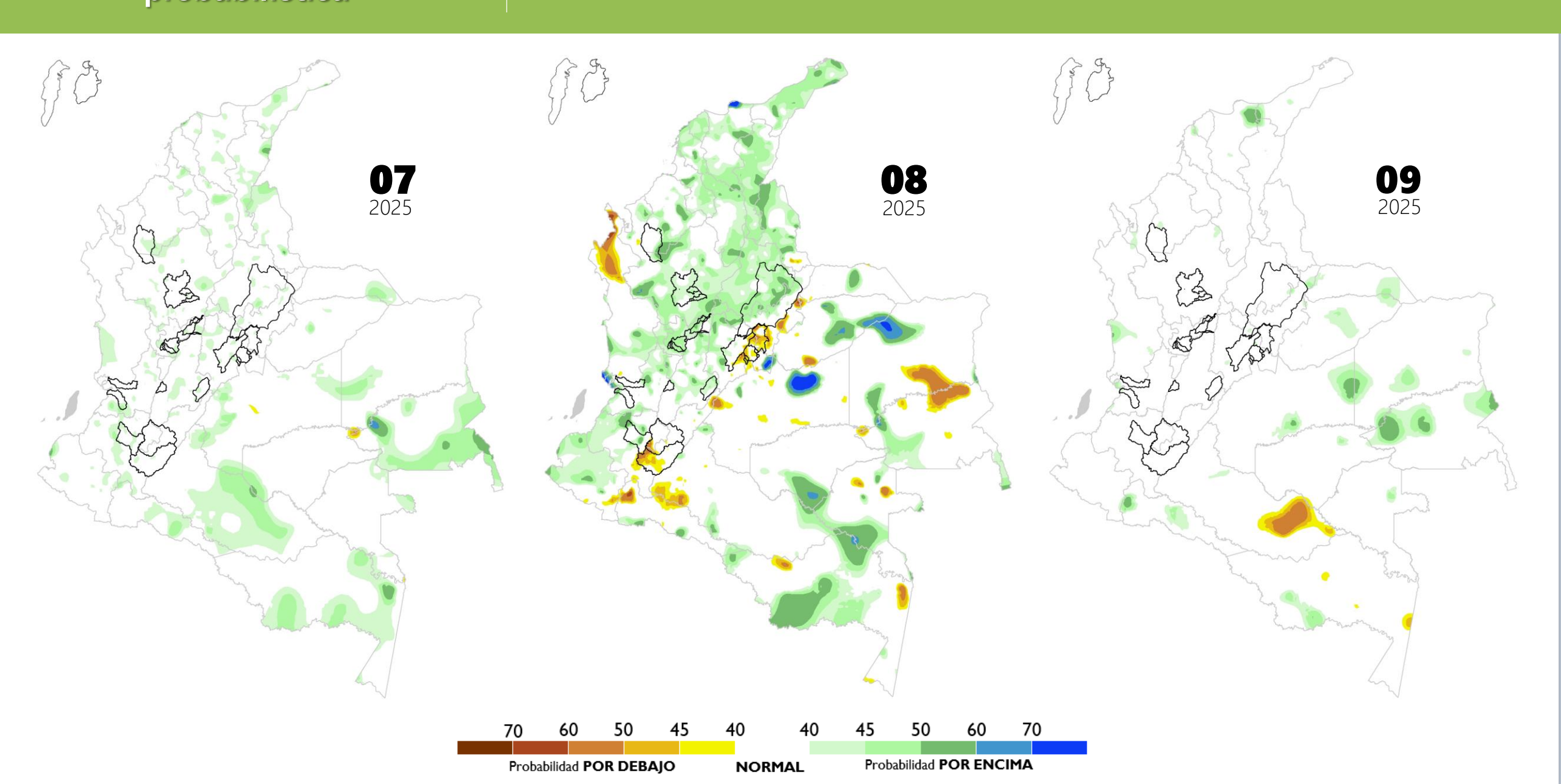
JUL - AGO - SEP



Predicción probabilística

JUL - AGO - SEP

Probabilidad que se presente las categorías: por debajo, normal, por encima



Predicción Ríos Principales

CONDICIONES MUY ALTAS

Se esperan niveles cercanos a cotas máximas o de desborde.

CONDICIONES ALTAS

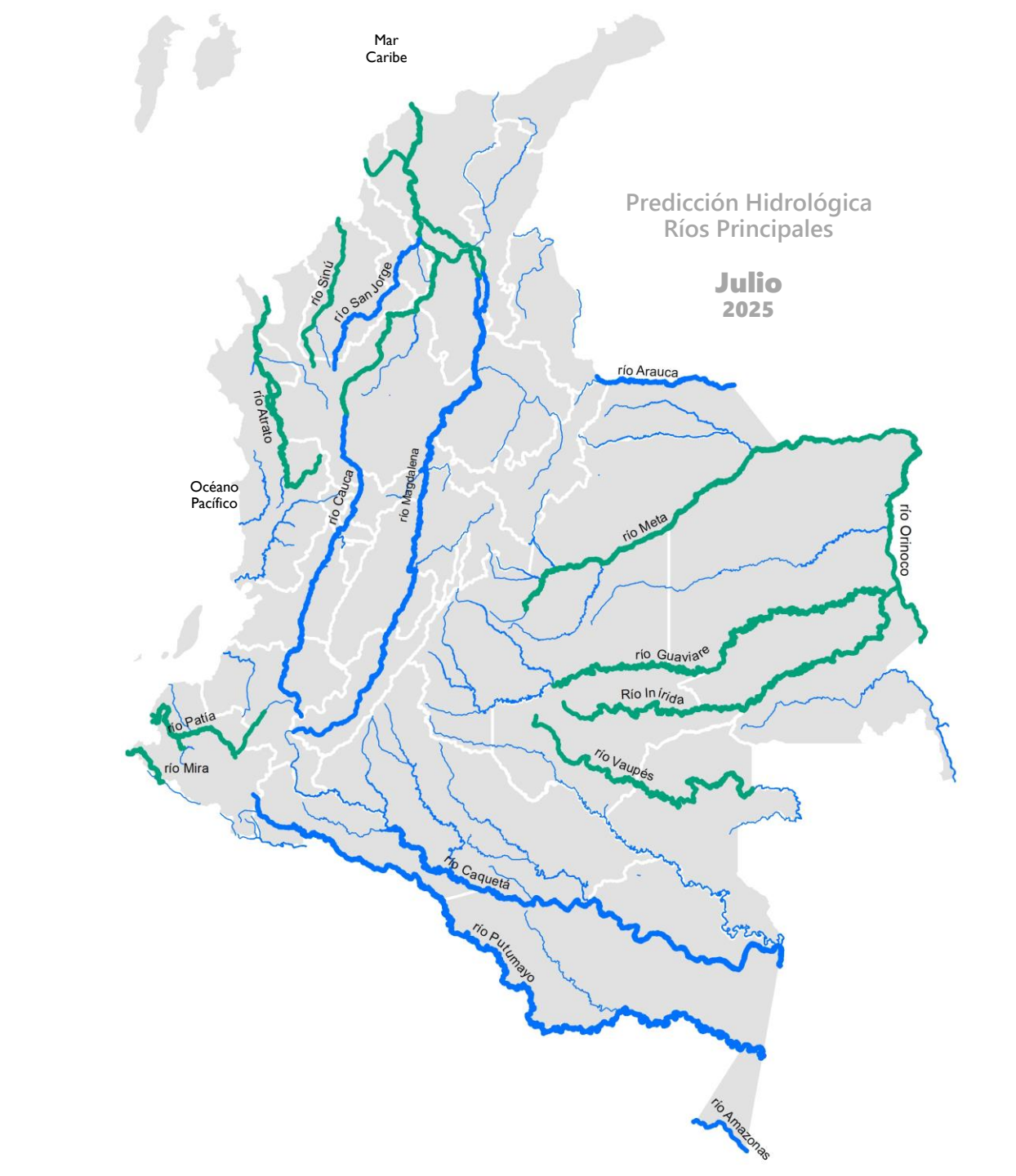
Se esperan niveles en el rango de valores altos, respecto a los valores históricos del mes.

CONDICIONES MEDIAS

Se esperan niveles con valores cercanos a los promedios, respecto a los valores históricos del mes.

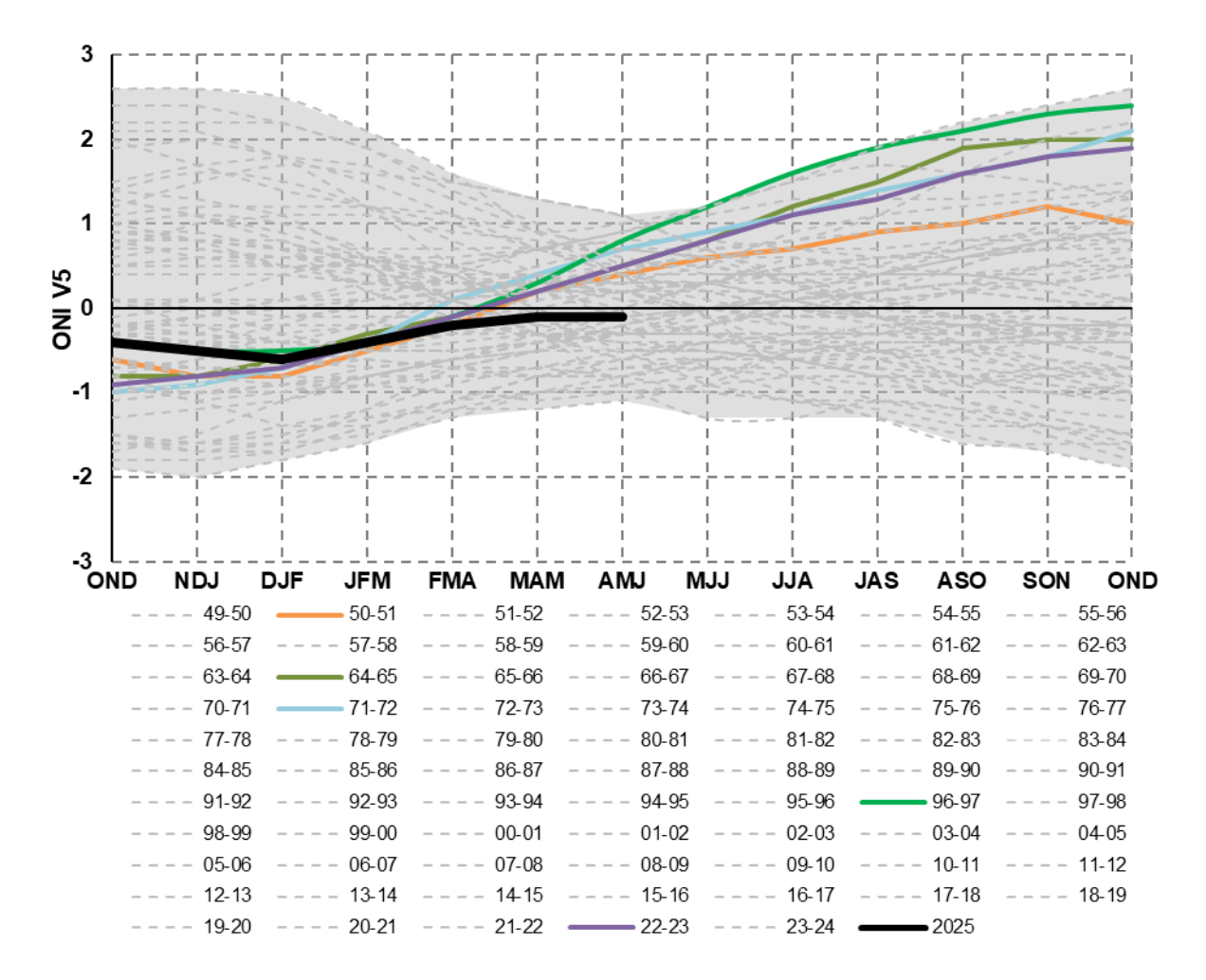
CONDICIONES BAJAS

Se esperan niveles con valores en el rango de los mínimos, respecto a los valores históricos del mes.

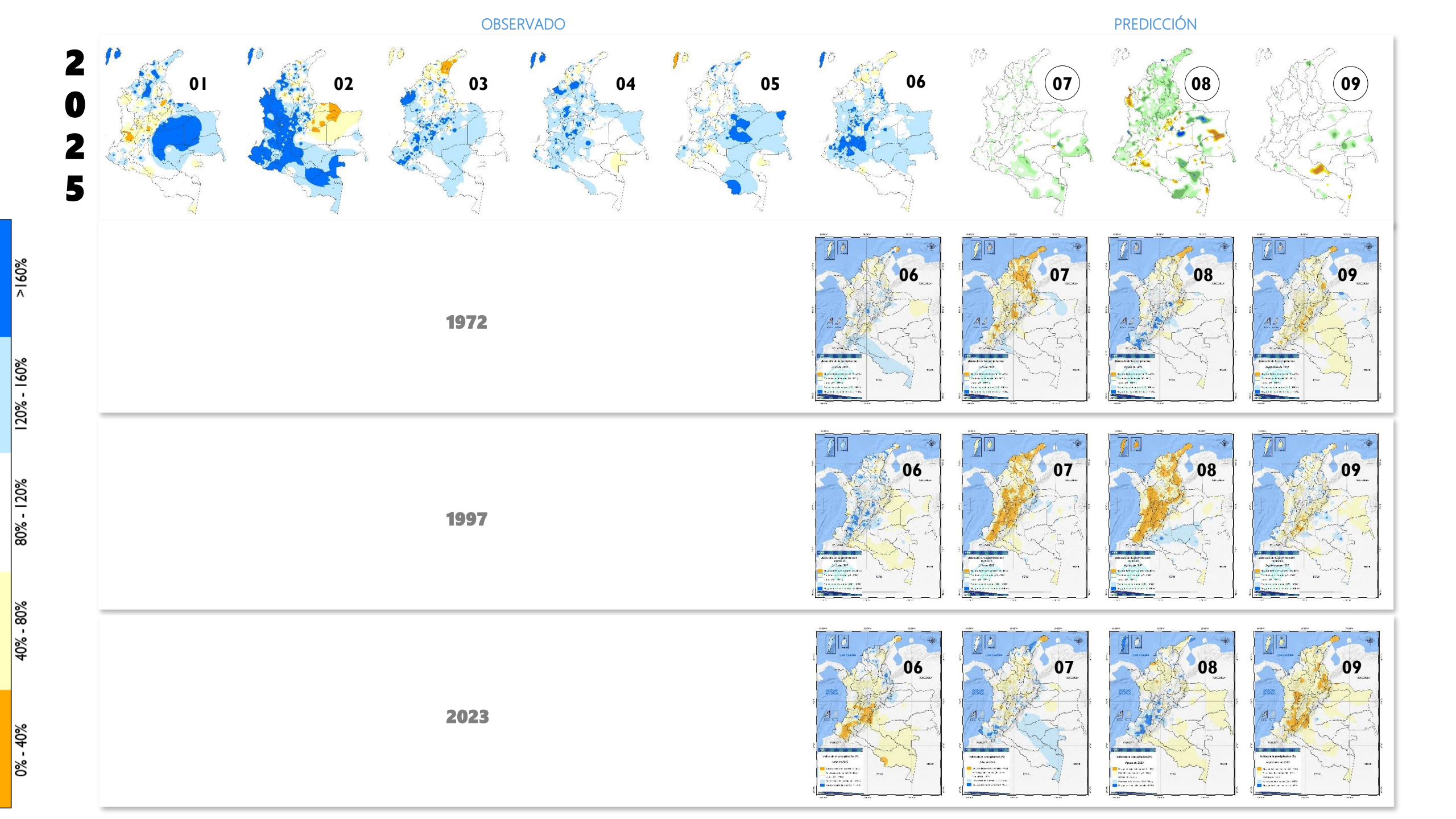


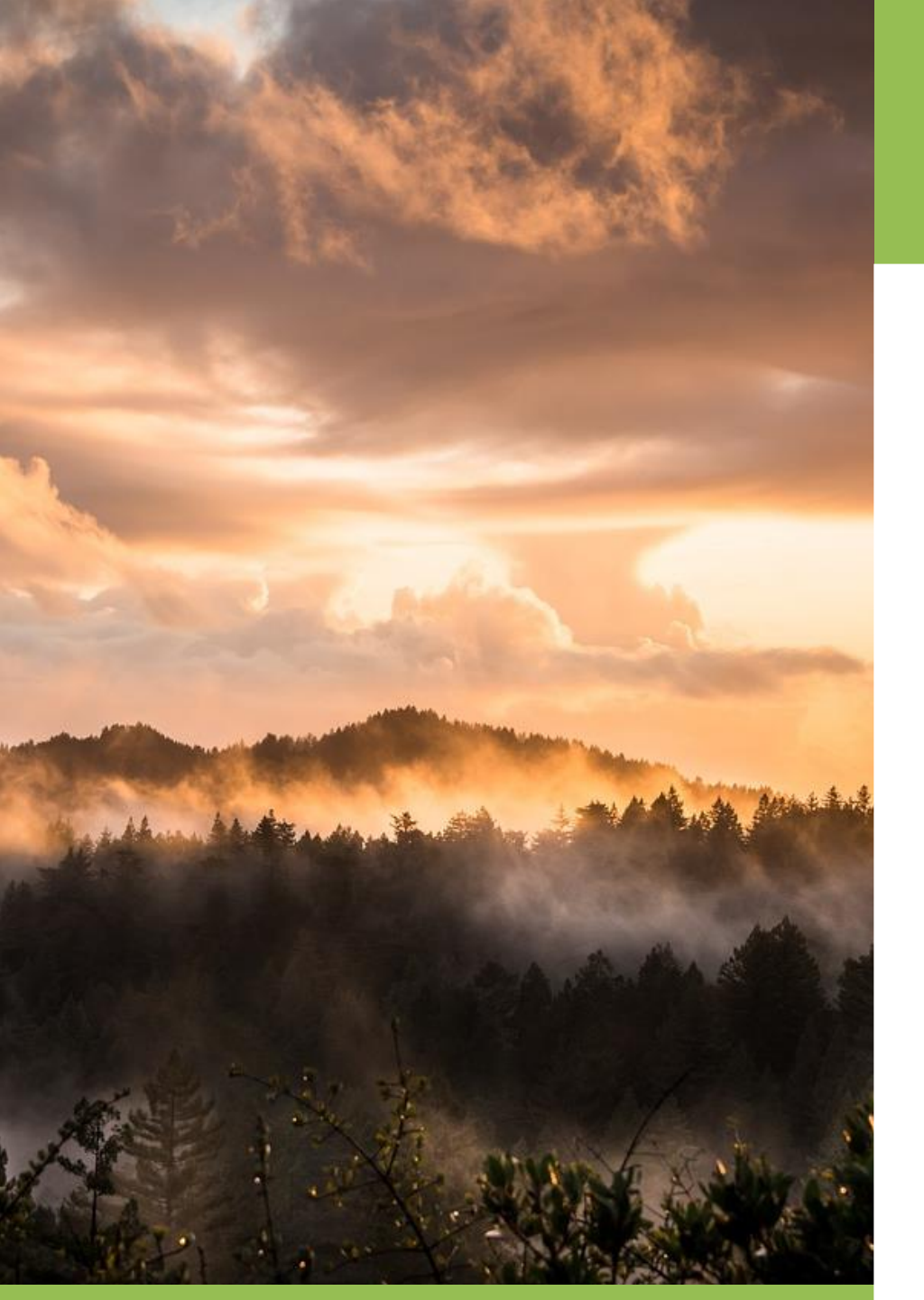


ANÁLOGOS



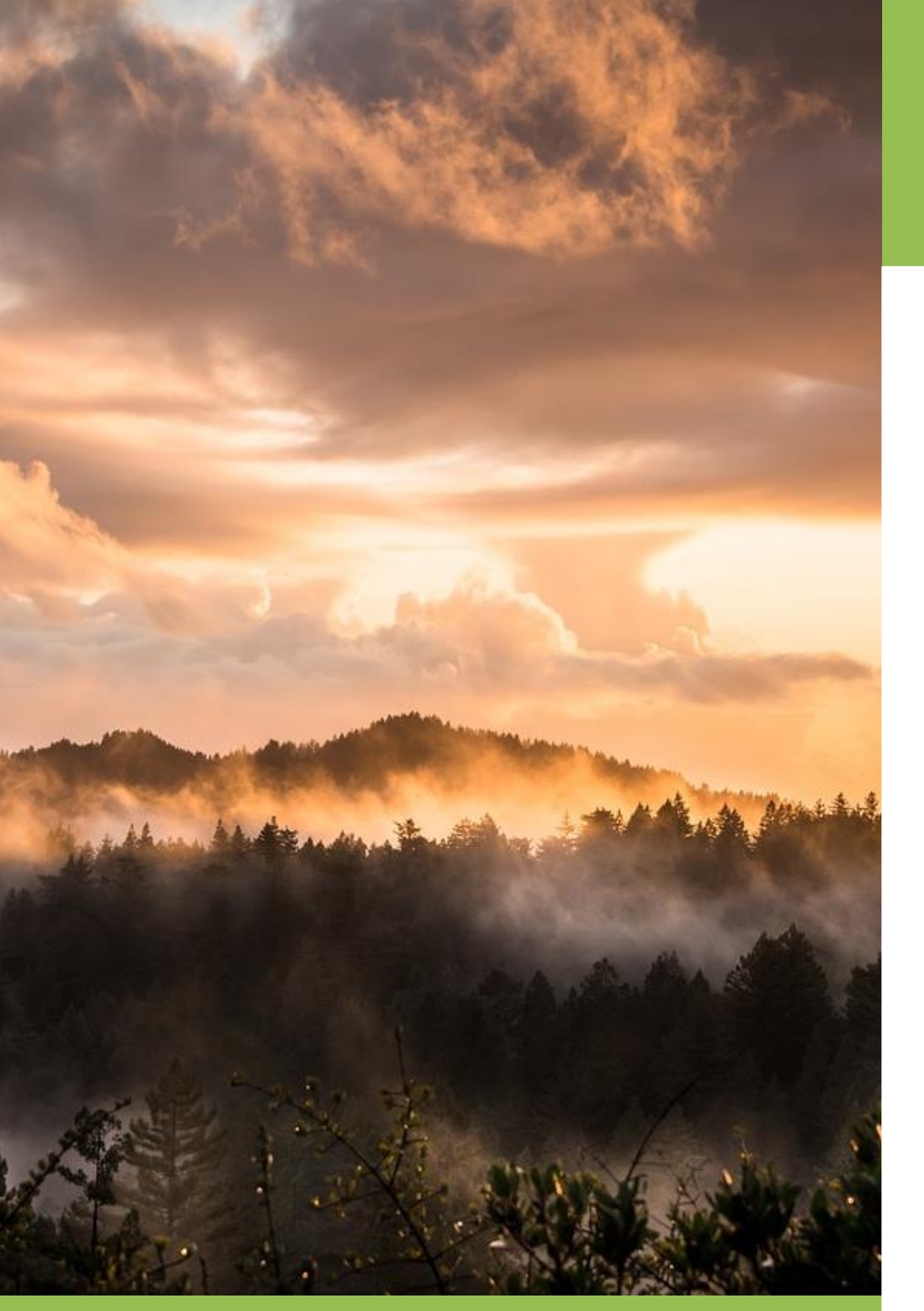






CONCLUSIONES

- De acuerdo con el reporte del 12 junio emitido por la Administración Nacional de Océano y Atmósfera (NOAA, por sus siglas en inglés), las condiciones atmosféricas en el Pacífico tropical indican la presencia de condiciones ENOS-neutral en la cuenca del océano Pacífico tropical puesto que:
 - Las temperaturas de la superficie del mar se mantuvieron cercanas al promedio en la mayor parte del océano Pacífico ecuatorial.
 - ❖ Todos los valores más recientes del índice de El Niño estuvieron cerca de cero, fluctuando desde -0.1°C a +0.4°C.
 - Las temperaturas de la subsuperficie estuvieron entre cerca y por encima del promedio en el centro y este del Océano Pacífico, con anomalías cálidas en la profundidad del oeste del Pacífico.
 - Durante el mes anterior, los vientos en los niveles bajos se presentaron del este en el centro-este del Pacífico mientras que en niveles altos estuvieron cerca del promedio a través del Pacífico ecuatorial.
 - La convección permaneció suprimida cerca y al oeste de la Línea Internacional de Cambio de Fecha y se intensificó cerca de Indonesia.
- Por lo anterior, el sistema acoplado océano-atmósfera está presentando condiciones ENOS-neutral en el Pacífico ecuatorial; a tal punto que la predicción indica que continuaría esta fase del ENOS especialmente entre el verano y el otoño del hemisferio norte con probabilidades superiores al 80%. La incertidumbre aumenta a medida que se extiende el horizonte de pronóstico, con una probabilidad cercana del 48% para el ENOS-neutral y del 41% para la fase de La Niña durante el mes de **noviembre de 2025 enero 2026**.
- Debido a que la fase actual del ENOS en Neutral, las condiciones climatológicas del país para el próximo semestre dependerán mayormente del ciclo estacional propio de la época del año y de las fluctuaciones asociadas a la oscilación Madden & Julian y otras ondas ecuatoriales.



CONCLUSIONES

- Por ahora, el modelo probabilístico del Ideam prevé como lo más probable para el mes de **julio/25**, precipitaciones cercano a lo normal en gran parte del país; por encima de lo normal en sitios puntuales de los departamentos Putumayo, Caquetá, Guainía y Amazonas. El modelo determinístico estima que dichos aumentos se presentarían entre 10% y 20% en los lugares anteriormente mencionados, así como, en el litoral de la región Caribe. Sin embargo, no todos los ensambles globales (CPC-NOAA, C3S, OMM) están de acuerdo con esta predicción, lo que marca una incertidumbre frente a la misma para este mes e incluso para los meses posteriores.
- Para el trimestre consolidado **julio-septiembre/25** se estiman precipitaciones cercano a lo normal como lo más probable en gran parte del país; no obstante, el modelo determinístico predice déficits de lluvia entre el 10% y 40% en La Guajira, sectores de los departamentos de Tolima, Huila, Vaupés y trapecio amazónico.
- A más largo plazo; es decir, para el período comprendido entre **octubre-diciembre/25**, lo más probable son precipitaciones por encima de lo normal en las regiones Caribe, Andina y Pacífica y precipitaciones dentro de los promedios históricos para el resto del país; no obstante, el modelo determinístico sugiere disminuciones de lluvias entre 10% y 20% en sectores de Vaupés y centro de la Amazonía; mientras que incrementos entre 10% y 20% en el resto del país.



Instituto de Hidrología, Meteorología y Estudios Ambientales